

This Page Is Inserted by IFW Operations  
and is not a part of the Official Record

## **BEST AVAILABLE IMAGES**

Defective images within this document are accurate representations of the original documents submitted by the applicant.

Defects in the images may include (but are not limited to):

- BLACK BORDERS
- TEXT CUT OFF AT TOP, BOTTOM OR SIDES
- FADED TEXT
- ILLEGIBLE TEXT
- SKEWED/SLANTED IMAGES
- COLORED PHOTOS
- BLACK OR VERY BLACK AND WHITE DARK PHOTOS
- GRAY SCALE DOCUMENTS

**IMAGES ARE BEST AVAILABLE COPY.**

**As rescanning documents *will not* correct images,  
please do not report the images to the  
Image Problem Mailbox.**

31



(19) BUNDESREPUBLIK  
DEUTSCHLAND



DEUTSCHES  
PATENT- UND  
MARKENAMT

(12) **Offenlegungsschrift**  
(10) **DE 199 48 248 A 1**

(61) Int. Cl.<sup>7</sup>:  
**C 07 C 45/35**

C 07 C 47/22  
B 01 J 23/31  
B 01 J 23/28  
B 01 J 23/30  
B 01 J 27/057  
B 01 J 23/887  
B 01 J 23/888

(21) Aktenzeichen: 199 48 248.9  
(22) Anmeldetag: 7. 10. 1999  
(43) Offenlegungstag: 12. 4. 2001

**DE 199 48 248 A 1**

(71) Anmelder:  
BASF AG, 67063 Ludwigshafen, DE

(72) Erfinder:  
Unverricht, Signe, Dr., 68169 Mannheim, DE;  
Arnold, Heiko, Dr., 68159 Mannheim, DE; Tenten,  
Andreas, Dr., 67487 Maikammer, DE; Hammon,  
Ulrich, Dr., 68165 Mannheim, DE; Neumann,  
Hans-Peter, Dr., 67067 Ludwigshafen, DE; Harth,  
Klaus, Dr., 67317 Altleiningen, DE

**Die folgenden Angaben sind den vom Anmelder eingereichten Unterlagen entnommen**

(54) Verfahren der katalytischen Gasphasenoxidation von Propen zu Acrylsäure

(57) Ein Verfahren der katalytischen Gasphasenoxidation von Propen zu Acrylsäure, bei dem man das Reaktionsgasausgangsgemisch mit einer erhöhten Propenbelastung in einer ersten Reaktionsstufe an einem ersten Festbettkatalysator oxidiert, der in zwei aufeinanderfolgenden Reaktionszonen A, B untergebracht ist, wobei die Reaktionszone B auf einer höheren Temperatur als die Reaktionszone A gehalten wird, und anschließend das Acrolein enthaltende Produktgasgemisch der ersten Reaktionsstufe in einer zweiten Reaktionsstufe unter einer erhöhten Acroleinbelastung an einem zweiten Festbettkatalysator oxidiert, der in zwei aufeinanderfolgenden Reaktionszonen C, D untergebracht ist, wobei die Reaktionszone D auf einer höheren Temperatur als die Reaktionszone C gehalten wird.

**DE 199 48 248 A 1**

# DE 199 48 248 A 1

## Beschreibung

Vorliegende Erfindung betrifft ein Verfahren der katalytischen Gasphasenoxidation von Propen zu Acrylsäure, bei dem man ein Propen, molekularen Sauerstoff und wenigstens ein Inertgas, das zu wenigstens 20% seines Volumens aus molekularem Stickstoff besteht, enthaltendes Reaktionsgasausgangsgemisch 1, das den molekularen Sauerstoff und das Propen in einem molaren Verhältnis  $O_2 : C_3H_6 \geq 1$  enthält, zunächst in einer ersten Reaktionsstufe bei erhöhter Temperatur so über einen ersten Festbettkatalysator, dessen Aktivmasse wenigstens ein Molybdän und/oder Wolfram sowie Wismut, Tellur, Antimon, Zinn und/oder Kupfer enthaltendes Multimetallocid ist, führt, daß der Propenumsatz bei einmaligem Durchgang  $\geq 90$  mol-% und die damit einhergehende Selektivität der Acroleinbildung sowie der Acrylsäuren-10 ebenproduktbildung zusammengekommen  $\geq 90$  mol-% betragen, die Temperatur des die erste Reaktionsstufe verlassenden Produktgasgemisches durch direkte und/oder indirekte Kühlung gegebenenfalls verringert und dem Produktgasgemisch gegebenenfalls molekularen Sauerstoff und/oder Inertgas zugibt, und danach das Produktgasgemisch als Acrolein, molekularen Sauerstoff und wenigstens ein Inertgas, das zu wenigstens 20% seines Volumens aus molekularem Stickstoff besteht, enthaltendes Reaktionsgasausgangsgemisch 2, das den molekularen Sauerstoff und das Acrolein in einem molaren Verhältnis  $O_2 : C_3H_4O \geq 1$  enthält, in einer zweiten Reaktionsstufe bei erhöhter Temperatur so über einen zweiten Festbettkatalysator, dessen Aktivmasse wenigstens ein Molybdän und Vanadin enthaltendes Multimetallocid ist, führt, daß der Acroleinumsatz bei einmaligem Durchgang  $\geq 90$  mol-% und die Selektivität der über beide Reaktionsstufen bilanzierten Acrylsäurebildung, bezogen auf umgesetztes Propen,  $\geq 80$  mol-% beträgt.

Das vorgenannte Verfahren der katalytischen Gasphasenoxidation von Propen zu Acrylsäure ist allgemein bekannt (vgl. z. B. DE-A 30 02 829). Im besonderen sind die beiden Reaktionsstufen für sich bekannt (vgl. z. B. EP-A 714700, EP-A 700893, EP-A 15565, DE-C 28 30 765, DE-C 33 38 380, JP-A 91/294239, EP-A 807465, WO 98/24746, EP-B 279374, DE-C 25 13 405, DE-A 33 00 044, EP-A 575897 und DE-A 198 55 913).

Acrylsäure ist ein bedeutendes Monomeres, das als solches oder in Form seiner Alkylester zur Erzeugung von z. B. als Klebstoffen geeigneten Polymerisaten Verwendung findet.

Die Zielsetzung einer jeden zweistufigen Festbettgasphasenoxidation von Propen zu Acrylsäure besteht grundsätzlich darin, eine möglichst hohe Raum-Zeit-Ausbeute an Acrylsäure ( $RZA_{As}$ ) zu erzielen (das ist bei einer kontinuierlichen Verfahrensweise die je Stunde und Gesamtvolumen der verwendeten Katalysatorschüttung in Litern erzeugte Gesamtmenge an Acrylsäure).

Es besteht deshalb generelles Interesse daran, eine solche zweistufige Festbettgasphasenoxidation von Propen zu Acrylsäure einerseits unter einer möglichst hohen Belastung der ersten Festbettkatalysatorschüttung mit Propen (darunter wird die Menge an Propen in Normlitem (= NL; das Volumen in Liter, das die entsprechende Propenmenge bei Normalbedingungen, d. h., bei 25°C und 1 bar, einnehmen würde) verstanden, die als Bestandteil des Reaktionsgasausgangsgemisches 1 pro Stunde durch einen Liter an Katalysatorschüttung 1 geführt wird) und andererseits unter einer möglichst hohen Belastung der zweiten Festbettkatalysatorschüttung mit Acrolein (darunter wird die Menge an Acrolein in Normlitem (= NL; das Volumen in Liter, das die entsprechende Acroleinmenge bei Normalbedingungen, d. h., bei 25°C und 1 bar, einnehmen würde) verstanden, die als Bestandteil des Reaktionsgasausgangsgemisches 2 pro Stunde durch einen Liter an Katalysatorschüttung 2 geführt wird) durchzuführen, ohne dabei den beim einmaligen Durchgang des Reaktionsgasausgangsgemisches durch die beiden Festbettkatalysatorschüttungen erfolgenden Umsatz an Propen und Acrolein sowie die über beide Reaktionsstufen bilanzierte Selektivität der damit einhergehenden Acrylsäurebildung (bezogen auf umgesetztes Propen) nennenswert zu beeinträchtigen.

Die Realisierung des Vorgenannten wird durch die Tatsache beeinträchtigt, daß sowohl die Festbettgasphasenoxidation von Propen zu Acrolein als auch die Festbettgasphasenoxidation von Acrolein zu Acrylsäure einerseits stark exotherm verläuft und andererseits von einer Vielfalt möglicher Parallel- und Folgereaktionen begleitet wird.

Mit zunehmender Propen- bzw. Acroleinbelastung der jeweiligen Festbettkatalysatorschüttung muß, bei Verwirklichung der angestrebten Randbedingung eines im wesentlichen gleichbleibenden Propen- bzw. Acroleinumsatzes, daher davon ausgegangen werden, daß infolge der erhöhten Wärmeleitung die Selektivität der Wertproduktbildung abnimmt (vgl. z. B. EP-B 450 596, Example 1 und Example 2).

Die konventionellen Verfahren der katalytischen Festbettgasphasenoxidation von Propen zu Acrolein bzw. von Acrolein zu Acrylsäure, die dadurch charakterisiert sind, daß als ein Hauptbestandteil des inerten Verdünnungsgases Stickstoff und außerdem ein in einer Reaktionszone befindlicher und längs dieser Reaktion homogener, d. h., über die Festbettkatalysatorschüttung chemisch einheitlich zusammengesetzter, Festbettkatalysator verwendet und die Temperatur der Reaktionszone auf einem über die Reaktionszone einheitlichen Wert gehalten wird (unter Temperatur einer Reaktionszone wird hier die Temperatur der in der Reaktionszone befindlichen Festbettkatalysatorschüttung bei Ausübung des Verfahrens in Abwesenheit einer chemischen Reaktion verstanden; ist diese Temperatur innerhalb der Reaktionszone nicht konstant, so meint der Begriff Temperatur einer Reaktionszone hier den Zahlenmittelwert der Temperatur der Katalysatorschüttung längs der Reaktionszone), beschränken daher den anzuwendenden Wert der Propen- bzw. Acroleinbelastung der Festbettkatalysatorschüttung.

So liegt der angewandte Wert der Propenbelastung der Festbettkatalysatorschüttung normalerweise bei Werten  $\leq 155$  NL Propen/l Katalysatorschüttung · h (vgl. z. B. EP-A 15565 (maximale Propenlast = 120 NL Propen/l · h), DE-C 28 30 765 (maximale Propenlast = 94,5 NL Propen/l · h), EP-A 804465 (maximale Propenlast = 128 NL Propen/l · h), EP-B 279374 (maximale Propenlast = 112 NL Propen/l · h), DE-C 25 13 405 (maximale Propenlast = 110 NL Propen/l · h), DE-A 33 00 044 (maximale Propenlast = 112 NL Propen/l · h), EP-A 575897 (maximale Propenlast = 120 NL Propen/l · h), DE-C 33 38 380 (in im wesentlichen allen Beispielen beträgt die maximale Propenlast 126 NL Propen/l · h; nur im Fall einer speziellen Katalysatorzusammensetzung wurde eine Propenlast von 162 NL/l · h realisiert) und DE-A 198 55 913 (maximale Propenlast = 155 NL Propen/l · h)).

Die WO 98/24746 erachtet es bereits bei einer Propenbelastung von bis zu 148,8 NL Propen/l · h als erforderlich, die Katalysatorschüttung so zu strukturieren, daß ihre volumenspezifische Aktivität in Strömungsrichtung des Reaktionsgasgemisches sukzessive zunimmt.

# DE 199 48 248 A 1

Die JP-A 91/294239 offenbart zwar in einer beispielhaften Ausführungsform bei im wesentlichen konventioneller Verfahrensweise eine Propenlast der Katalysatorschüttung von 160 Nl Propen/l · h für eine katalytische Gasphasenoxydation von Propen zu Acrolein als möglich, dies jedoch ebenfalls nur zum Preis einer in Strömungsrichtung des Reaktionsgasgemisches sukzessive zunehmenden volumenspezifischen Aktivität. Eine solche Verfahrensweise ist großtechnisch aber nur wenig praktikabel, wird die gasphasenkatalytische Oxidation von Propan zu Acrolein üblicherweise doch in Rohrbündelreaktoren mit einigen tausend Kontaktrohren durchgeführt, von denen jedes einzelne mit der abgestuften Katalysatorschüttung beschickt werden muß.

In der EP-B 450596 wurde unter Anwendung einer strukturierten Katalysatorschüttung bei ansonsten konventioneller Verfahrensweise eine Propenlast der Katalysatorschüttung von 202,5 Nl Propen/l · h realisiert. Dies allerdings auf Kosten einer verringerten Wertproduktselektivität.

Die EP-B 253409 und das zugehörige Äquivalent, die EP-B 257565, offenbaren, daß bei Verwendung eines inerten Verdünnungsgases das eine höhere molare Wärmekapazität als molekularer Stickstoff aufweist, der Anteil an Propen im Reaktionsgasausgangsgemisch erhöht werden kann. Nichtsdestotrotz liegt aber auch in den beiden vorgenannten Schriften die maximale realisierte Propenbelastung der Katalysatorschüttung bei 140 Nl Propen/l · h.

In der EP-A 293224 wurden Propenbelastungen oberhalb von 160 Nl Propen/l · h realisiert. Dies allerdings auf Kosten eines speziellen zu verwendenden inerten Verdünnungsgases, das völlig frei von molekularem Stickstoff ist. Nachteilig an diesem Verdünnungsgas ist insbesondere, daß es sich bei all seinen Bestandteilen, im Unterschied zu molekularem Stickstoff, um Wertprodukte handelt, die bei einer kontinuierlichen Durchführung des Verfahrens in aufwendiger Weise aus Gründen der Wirtschaftlichkeit wenigstens teilweise in die Gasphasenoxydation rückgeführt werden müssen.

In entsprechender Weise beschränken die Verfahren des Standes der Technik den anzuwendenden Wert der Acroleinbelastung der Festbettkatalysatorschüttung bei einer katalytischen Gasphasenoxydation von Acrolein zu Acrylsäure normalerweise auf Werte  $\leq 150$  Nl Acrolein/l Katalysator · h (vgl. z. B. EP-B 714700; dort beträgt die maximale angewandte Acroleinlast = 120 Nl Acrolein/l · h).

Zweistufige Gasphasenoxydationen von Propen zu Acrylsäure, bei denen in den beiden Oxidationsstufen sowohl eine hohe Propenbelastung als auch eine hohe Acroleinbelastung des jeweiligen Festbettkatalysators gefahren werden, sind aus dem Stand der Technik so gut wie nicht bekannt.

Eine der wenigen Ausnahmen bilden die bereits zitierte EP-B 253409 und das zugehörige Äquivalent, die EP-B 257565. Nichtsdestotrotz liegt aber auch in diesen beiden Schriften die maximale realisierte Propenbelastung, trotz Verwendung eines inerten Verdünnungsgases mit einer höheren molaren Wärmekapazität als Stickstoff, und damit im wesentlichen automatisch auch die bei direktem Durchgang des Produktgasgemisches der Propenoxydationsstufe in die Acroleinoxidationsstufe nachfolgende Acroleinbelastung der Katalysatorschüttung bei  $\leq 140$  Nl Reaktand (Propen oder Acrolein)/l · h.

Die Aufgabe der vorliegenden Erfindung bestand daher darin, ein wie eingangs definiertes Verfahren der katalytischen Gasphasenoxydation von Propen zu Acrylsäure zur Verfügung zu stellen, das eine erhöhte Raum-Zeit-Ausbeute an Acrylsäure gewährleistet, ohne die Nachteile der Hochlastfahrweisen des Standes der Technik aufzuweisen.

Demgemäß wurde ein Verfahren der katalytischen Gasphasenoxydation von Propen zu Acrylsäure, bei dem man ein Propen, molekularen Sauerstoff und wenigstens ein Inertgas, das zu wenigstens 20% seines Volumens aus molekularem Stickstoff besteht, enthaltendes Reaktionsgasausgangsgemisch 1, das den molekularen Sauerstoff und das Propen in einem molaren Verhältnis  $O_2 : C_3H_6 \geq 1$  enthält, zunächst in einer ersten Reaktionsstufe bei erhöhter Temperatur so über einen ersten Festbettkatalysator, dessen Aktivmasse wenigstens ein Molybdän und/oder Wolfram sowie Wismut, Tellur, Antimon, Zinn und/oder Kupfer enthaltendes Multimetallocid ist, führt, daß der Propenumsatz bei einmaligem Durchgang  $\geq 90$  mol-% und die damit einhergehende Selektivität der Acroleinbildung sowie der Acrylsäurenebenproduktbildung zusammengekommen  $\geq 90$  mol-% betragen, die Temperatur des die erste Reaktionsstufe verlassenden Produktgasgemisches durch indirekte und/oder direkte Kühlung gegebenenfalls verringert und dem Produktgasgemisch gegebenenfalls molekularen Sauerstoff und/oder Inertgas zugibt, und danach das Produktgasgemisch als Acrolein, molekularen Sauerstoff und wenigstens ein Inertgas, das zu wenigstens 20% seines Volumens aus molekularem Stickstoff besteht, enthaltendes Reaktionsgasausgangsgemisch 2, das den molekularen Sauerstoff und das Acrolein in einem molaren Verhältnis  $O_2 : C_3H_4O \geq 1$  enthält, in einer zweiten Reaktionsstufe bei erhöhter Temperatur so über einen zweiten Festbettkatalysator, dessen Aktivmasse wenigstens ein Molybdän und Vanadin enthaltendes Multimetallocid ist, führt, daß der Acroleinumsatz bei einmaligem Durchgang  $\geq 90$  mol-% und die Selektivität der über beide Reaktionsstufen bilanzierten Acrylsäurebildung, bezogen auf umgesetztes Propen,  $\geq 80$  mol-% beträgt, gefunden, das dadurch gekennzeichnet ist, daß

- a) die Belastung des ersten Festbettkatalysators mit dem im Reaktionsgasausgangsgemisch 1 enthaltenen Propen  $\geq 160$  Nl Propen/l Katalysatorschüttung · h beträgt,
- b) der erste Festbettkatalysator aus einer in zwei räumlich aufeinanderfolgenden Reaktionszonen A, B angeordneten Katalysatorschüttung besteht, wobei die Temperatur der Reaktionszone A 300 bis 350°C und die Temperatur der Reaktionszone B 305 bis 380°C beträgt und gleichzeitig wenigstens 5°C oberhalb der Temperatur der Reaktionszone A liegt,
- c) das Reaktionsgasausgangsgemisch 1 die Reaktionszonen A, B in der zeitlichen Abfolge "erst A", "dann B" durchströmt,
- d) die Reaktionszone A sich bis zu einem Umsatz des Propens von 40 bis 80 mol-% erstreckt,
- e) die Belastung des zweiten Festbettkatalysators mit dem im Reaktionsgasausgangsgemisch 2 enthaltenen Acrolein  $\geq 140$  Nl Acrolein/l Katalysatorschüttung · h beträgt,
- f) der zweite Festbettkatalysator aus einer in zwei räumlich aufeinanderfolgenden Reaktionszonen C, D angeordneten Katalysatorschüttung besteht, wobei die Temperatur der Reaktionszone C 230 bis 270°C und die Temperatur der Reaktionszone D 250 bis 300°C beträgt und gleichzeitig wenigstens 10°C oberhalb der Temperatur der Reaktionszone A liegt,

# DE 199 48 248 A 1

g) das Reaktionsgasausgangsgemisch 2 die Reaktionszonen C, D in der zeitlichen Abfolge "erst C", "dann D" durchströmt und  
h) sich die Reaktionszone C bis zu einem Umsatz des Acroleins von 55 bis 85 mol-% erstreckt.

5 Bevorzugt erstreckt sich die Reaktionszone A bis zu einem Propenumsatz von 50 bis 70 mol-% und besonders bevorzugt bis zu einem Propenumsatz von 65 bis 75 mol-%.

Die Temperatur der Reaktionszone B beträgt erfindungsgemäß in vorteilhafter Weise 305 bis 365°C, bzw. 340°C und besonders vorteilhaft 310 bis 330°C. Ferner liegt die Temperatur der Reaktionszone B bevorzugt wenigstens 10°C oberhalb der Temperatur der Reaktionszone A.

10 Je höher die Propenbelastung der Katalysatorschüttung 1 beim erfindungsgemäßen Verfahren gewählt wird, um so größer sollte die Differenz zwischen der Temperatur der Reaktionszone A und der Temperatur der Reaktionszone B gewählt werden. Normalerweise wird die vorgenannte Temperatordifferenz beim erfindungsgemäßen Verfahren aber nicht mehr als 50°C betragen. D. h., die Differenz zwischen der Temperatur der Reaktionszone A und der Temperatur der Reaktionszone B kann erfindungsgemäß bis zu 20°C, bis zu 25°C, bis zu 30°C, bis zu 40°C, bis zu 45°C oder bis zu 50°C betragen.

15 In der Regel wird der auf den einfachen Durchgang bezogene Propenumisatz beim erfindungsgemäßen Verfahren in der ersten Reaktionsstufe  $\geq 92$  mol-% oder  $\geq 94$  mol-% betragen. Die in der ersten Reaktionsstufe bei einfacher Durchgang resultierende Selektivität der Acroleinbildung sowie der Acrylsäurenebenproduktbildung wird dabei regelmäßig  $\geq 92$  mol-% oder  $\geq 94$  mol-%, häufig  $\geq 95$  mol-% oder  $\geq 96$  mol-% bzw.  $\geq 97$  mol-% betragen.

20 In überraschender Weise gilt das Vorgenannte nicht nur bei Propenbelastungen der Katalysatorschüttung 1 von  $\geq 165$  Nl/l · h oder von  $\geq 170$  Nl/l · h bzw.  $\geq 175$  Nl/l · h oder  $\geq 180$  Nl/l · h, sondern auch bei Propenbelastungen der Katalysatorschüttung 1 von  $\geq 185$  Nl/l · h oder  $\geq 190$  Nl/l · h bzw.  $\geq 200$  Nl/l · h oder  $\geq 210$  Nl/l · h sowie bei Belastungswerten  $\geq 220$  Nl/l · h oder  $\geq 230$  Nl/l · h bzw.  $\geq 240$  Nl/l · h oder  $\geq 250$  Nl/l · h.

25 Dabei überrascht, daß vorgenannte Werte selbst dann erreichbar sind, wenn das für das Reaktionsgasausgangsgemisch 1 erfindungsgemäß verwendete Inertgas zu  $\geq 30$  Vol-%, oder zu  $\geq 40$  Vol-%, oder zu  $\geq 50$  Vol-%, oder zu  $\geq 60$  Vol-%, oder zu  $\geq 70$  Vol-%, oder zu  $\geq 80$  Vol-%, oder zu  $\geq 90$  Vol-%, oder zu  $\geq 95$  Vol-% aus molekularem Stickstoff besteht.

Bei Propenbelastungen der Katalysatorschüttung 1 oberhalb von 250 Nl/l · h wird für das erfindungsgemäße Verfahren die Mitverwendung von inerten (inerte Verdünnungsgase sollen hier generell solche sein, die sich beim einmaligen Durchgang durch die jeweilige Reaktionsstufe zu weniger als 5%, bevorzugt zu weniger als 2% umsetzen) Verdünnungsgasen wie Propan, Ethan, Methan, Pentan, Butan, CO<sub>2</sub>, CO, Wasserdampf und/oder Edelgasen für das Reaktionsgasausgangsgemisch 1 empfohlen. Selbstverständlich können diese Gase und ihre Gemische aber auch bereits bei geringeren Propenbelastungen der Katalysatorschüttung 1 im Reaktionsgasausgangsgemisch 1 mitverwendet oder als alleinige Verdünnungsgase verwendet werden. Es überrascht, daß das erfindungsgemäße Verfahren mit einer über die Reaktionszonen A, B betrachtet homogenen, d. h., chemisch einheitlichen, Katalysatorschüttung 1 durchgeführt werden kann, ohne in nennenswertem Umfang Umsatz- und/oder Selektivitätseinbußen zu erleiden.

30 Normalerweise wird beim erfindungsgemäßen Verfahren die Propenbelastung der ersten Festbettkatalysatoren den Wert 600 Nl/l · h nicht überschreiten. In typischer Weise liegen die Propenbelastungen des ersten Festbettkatalysators beim erfindungsgemäßen Verfahren ohne nennenswerten Verlust von Umsatz und Selektivität bei Werten  $\leq 300$  Nl/l · h, häufig bei Werten  $\leq 250$  Nl/l · h.

35 Der Arbeitsdruck kann beim erfindungsgemäßen Verfahren in der ersten Reaktionsstufe sowohl unterhalb von Normaldruck (z. B. bis zu 0,5 bar) als auch oberhalb von Normaldruck liegen. Typischerweise wird der Arbeitsdruck in der ersten Reaktionsstufe bei Werten von 1 bis 5 bar, häufig 1,5 bis 3,5 bar liegen. Normalerweise wird der Reaktionsdruck in der ersten Reaktionsstufe 100 bar nicht überschreiten.

40 Das molare Verhältnis von O<sub>2</sub> : C<sub>3</sub>H<sub>6</sub> im Reaktionsgasausgangsgemisch 1 muß erfindungsgemäß  $\geq 1$  betragen. Üblicherweise wird dieses Verhältnis bei Werten  $\leq 3$  liegen. Häufig beträgt das molare Verhältnis von O<sub>2</sub> : C<sub>3</sub>H<sub>6</sub> im Reaktionsgasausgangsgemisch 1 erfindungsgemäß  $\geq 1,5$  und  $\leq 2,0$ .

45 Als Quelle für den in der ersten Reaktionsstufe erforderlichen molekularen Sauerstoff kommt sowohl Luft, als auch an molekularem Stickstoff entricherte Luft (z. B.  $\geq 90$  Vol.-% O<sub>2</sub>,  $\leq 10$  Vol.-% N<sub>2</sub>) in Betracht.

50 Der Propanteil im Reaktionsgasausgangsgemisch 1 kann erfindungsgemäß z. B. bei Werten von 4 bis 15 Vol.-%, häufig bei 5 bis 12 Vol-% bzw. 5 bis 8 Vol.-% liegen (jeweils bezogen auf das Gesamtvolumen).

55 Häufig wird man das erfindungsgemäße Verfahren bei einem Propen : Sauerstoff : indifferente Gase (einschließlich Wasserdampf) Volumenverhältnis im Reaktionsgasausgangsgemisch 1 von 1 : (1,0 bis 3,0) : (5 bis 25), vorzugsweise 1 : (1,7 bis 2,3) : (10 bis 15) durchführen.

55 In der Regel enthält das Reaktionsgasausgangsgemisch 1 neben den genannten Bestandteilen im wesentlichen keine weiteren Komponenten.

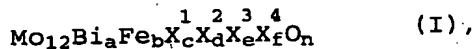
Als Festbettkatalysatoren 1 kommen für das erfindungsgemäße Verfahren alle diejenigen in Betracht, deren Aktivmasse wenigstens ein Mo, Bi und Fe enthaltendes Multimetalloxid ist.

60 D. h., prinzipiell können alle diejenigen Katalysatoren, die in den Schriften DE-C 33 38 380, DE-A 199 02 562, EP-A 15565, DE-C 23 80 765, EP-A 807465, EP-A 279374, DE-A 33 00 044, EP-A 575897, US-A 4438217, DE-A 198 55 913, WO 98/24746, DE-A 197 46 210 (diejenigen der allgemeinen Formel II), JP-0 A 91/294239, EP-A 293224 und EP-A 700714 offenbart werden, als Festbettkatalysatoren 1 eingesetzt werden. Dies gilt insbesondere für die beispielhaften Ausführungsformen in diesen Schriften, unter denen jene der EP-A 15565, der EP-A 575897, der DE-A 197 46 210 und der DE-A 198 55 913 besonders bevorzugt werden. Besonders hervorzuheben sind in diesem Zusammenhang ein Katalysator gemäß Beispiel 1c aus der EP-A 15565 sowie ein in entsprechender Weise herzustellender Katalysator, dessen Aktivmasse jedoch die Zusammensetzung Mo<sub>12</sub>Ni<sub>6,5</sub>Zn<sub>2</sub>Fe<sub>2</sub>Bi<sub>1</sub>P<sub>0,0065</sub>K<sub>0,06</sub>O<sub>x</sub> · 10SiO<sub>2</sub> aufweist. Ferner sind hervorzuheben das Beispiel mit der laufenden Nr. 3 aus der DE-A 198 55 913 (Stöchiometrie: Mo<sub>12</sub>Co<sub>7</sub>Fe<sub>3</sub>Bi<sub>0,6</sub>K<sub>0,08</sub>Si<sub>1,6</sub>O<sub>x</sub>) als Hohlyindravollkatalysator der Geometrie 5 mm × 3 mm × 2 mm (Außendurchmes-

# DE 199 48 248 A 1

ser  $\times$  Höhe  $\times$  Innendurchmesser) sowie der Multimetallocid II – Vollkatalysator gemäß Beispiel 1 der DE-A 197 46 210. Ferner wären die Multimetallocid-Katalysatoren der US-A 4438217 zu nennen. Letzteres gilt insbesondere dann, wenn diese Hohlzylinder eine Geometrie 5 mm  $\times$  2 mm  $\times$  2 mm, oder 5 mm  $\times$  3 mm  $\times$  2 mm, oder 6 mm  $\times$  3 mm  $\times$  3 mm, oder 7 mm  $\times$  3 mm  $\times$  4 mm (jeweils Außendurchmesser  $\times$  Höhe  $\times$  Innendurchmesser) aufweisen.

Eine Vielzahl der als Festbettkatalysatoren 1 geeigneten Multimetallocidaktivmassen lässt sich unter der allgemeinen Formel I



in der die Variablen nachfolgende Bedeutung aufweisen:

5

10

$\text{X}^1$  = Nickel und/oder Kobalt,

$\text{X}^2$  = Thallium, ein Alkalimetall und/oder ein Erdalkalimetall,

$\text{X}^3$  = Zink, Phosphor, Arsen, Bor, Antimon, Zinn, Cer, Blei und/oder Wolfram,

15

$\text{X}^4$  = Silicium, Aluminium, Titan und/oder Zirkonium,

a = 0,5 bis 5,

b = 0,01 bis 5, vorzugsweise 2 bis 4,

c = 0 bis 10, vorzugsweise 3 bis 10,

d = 0 bis 2, vorzugsweise 0,02 bis 2,

e = 0 bis 8, vorzugsweise 0 bis 5,

f = 0 bis 10 und

20

n = eine Zahl, die durch die Wertigkeit und Häufigkeit der von Sauerstoff verschiedenen Elemente in I bestimmt wird, subsummiert.

25

Sie sind in an sich bekannter Weise erhältlich (siehe z. B. die DE-A 40 23 239) und werden üblicherweise in Substanz zu Kugeln, Ringen oder Zylindern geformt oder auch in Gestalt von Schalenkatalysatoren, d. h., mit der Aktivmasse beschichteten vorgeformten, inerten Trägerkörpern, eingesetzt. Selbstverständlich können sie aber auch in Pulverform als Katalysatoren 1 angewendet werden. Selbstverständlich kann als Katalysator 1 erfundungsgemäß auch der Bi, Mo und Fe umfassende Multimetallocidkatalysator ACS-4 der Fa. Nippon Shokubai verwendet werden.

30

Prinzipiell können für die Festbettkatalysatoren 1 geeignete Aktivmassen, insbesondere solche der allgemeinen Formel I, in einfacher Weise dadurch hergestellt werden, daß man von geeigneten Quellen ihrer elementaren Konstituenten ein möglichst inniges, vorzugsweise feinteiliges, ihrer Stöchiometrie entsprechend zusammengesetztes, Trockengemisch erzeugt und dieses bei Temperaturen von 350 bis 650°C calciniert. Die Calcination kann sowohl unter Inertgas als auch unter einer oxidativen Atmosphäre wie z. B. Luft (Gemisch aus Inertgas und Sauerstoff) sowie auch unter reduzierender Atmosphäre (z. B. Gemisch aus Inertgas, NH<sub>3</sub>, CO und/oder H<sub>2</sub>) erfolgen. Die Calcinationsdauer kann einige Minuten bis einige Stunden betragen und nimmt üblicherweise mit der Temperatur ab. Als Quellen für die elementaren Konstituenten der Multimetallocidaktivmassen I kommen solche Verbindungen in Betracht, bei denen es sich bereits um Oxide handelt und/oder um solche Verbindungen, die durch Erhitzen, wenigstens in Anwesenheit von Sauerstoff, in Oxide überführbar sind.

35

Neben den Oxiden kommen als solche Ausgangsverbindungen vor allem Halogenide, Nitrate, Formiate, Oxalate, Citrate, Acetate, Carbonate, Aminkomplexe, Ammonium-Salze und/oder Hydroxide in Betracht (Verbindungen wie NH<sub>4</sub>OH, (NH<sub>4</sub>)<sub>2</sub>CO<sub>3</sub>, NH<sub>4</sub>NO<sub>3</sub>, NH<sub>4</sub>CHO<sub>2</sub>, CH<sub>3</sub>COOH, NH<sub>4</sub>CH<sub>3</sub>CO<sub>2</sub> und/oder Ammoniumoxalat, die spätestens beim späteren Calcinieren zu vollständig gasförmig entweichenden Verbindungen zerfallen und/oder zersetzt werden können, können in das innige Trockengemisch zusätzlich eingearbeitet werden).

40

Das innige Vermischen der Ausgangsverbindungen zur Herstellung von Multimetallocidmassen I kann in trockener oder in nasser Form erfolgen. Erfolgt er in trockener Form, so werden die Ausgangsverbindungen zweckmäßigerverweise als feinteilige Pulver eingesetzt und nach dem Mischen und gegebenenfalls Verdichten der Calcination unterworfen. Vorzugsweise erfolgt das innige Vermischen jedoch in nasser Form. Üblicherweise werden dabei die Ausgangsverbindungen in Form einer wäßrigen Lösung und/oder Suspension miteinander vermischt. Besonders innige Trockengemische werden beim beschriebenen Mischverfahren dann erhalten, wenn ausschließlich von in gelöster Form vorliegenden Quellen der elementaren Konstituenten ausgegangen wird. Als Lösungsmittel wird bevorzugt Wasser eingesetzt. Anschließend wird die erhaltene wäßrige Masse getrocknet, wobei der Trocknungsprozeß vorzugsweise durch Sprühtröcknung der wäßrigen Mischung mit Austrittstemperaturen von 100 bis 150°C erfolgt.

45

Die als erfundungsgemäße Festbettkatalysatoren 1 geeigneten Multimetallocidmassen, insbesondere jene der allgemeinen Formel I, können für das erfundungsgemäße Verfahren sowohl in Pulverform als auch zu bestimmten Katalysatortorometrien geformt eingesetzt werden, wobei die Formgebung vor oder nach der abschließenden Calcination erfolgen kann. Beispielsweise können aus der Pulverform der Aktivmasse oder ihrer uncalcinierten und/oder partiell calcinierten Vorläufermasse durch Verdichten zur gewünschten Katalysatorgeometrie (z. B. durch Tabletieren, Extrudieren oder Strangpressen) Vollkatalysatoren hergestellt werden, wobei gegebenenfalls Hilfsmittel wie z. B. Graphit oder Stearin-säure als Gleitmittel und/oder Formhilfsmittel und Verstärkungsmittel wie Mikrofasern aus Glas, Asbest, Siliciumcarbid oder Kaliumtititanat zugesetzt werden können. Geeignete Vollkatalysatorgeometrien sind z. B. Vollzylinder oder Hohlzylinder mit einem Außendurchmesser und einer Länge von 2 bis 10 mm. Im Fall der Hohlzylinder ist eine Wandstärke von 1 bis 3 mm zweckmäßig. Selbstverständlich kann der Vollkatalysator auch Kugelgeometrie aufweisen, wobei der Kugeldurchmesser 2 bis 10 mm betragen kann.

55

Selbstverständlich kann die Formgebung der pulverförmigen Aktivmasse oder ihrer pulverförmigen, noch nicht und/oder partiell calcinierten, Vorläufermasse auch durch Aufbringen auf vorgeformte inerte Katalysatorträger erfolgen. Die Beschichtung der Trägerkörper zur Herstellung der Schalenkatalysatoren wird in der Regel in einem geeigneten drehbaren Behälter ausgeführt, wie es z. B. aus der DE-A 29 09 671, der EP-A 293859 oder aus der EP-A 714700 bekannt ist.

60

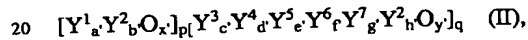
65

# DE 199 48 248 A 1

Zweckmäßigerweise wird zur Beschichtung der Trägerkörper die aufzubringende Pulvermasse befeuchtet und nach dem Aufbringen, z. B. mittels heißer Luft, wieder getrocknet. Die Schichtdicke der auf den Trägerkörper aufgebrachten Pulvermasse wird zweckmäßigerweise im Bereich 10 bis 1000 µm, bevorzugt im Bereich 50 bis 500 µm und besonders bevorzugt im Bereich 150 bis 250 µm liegend, gewählt.

Als Trägermaterialien können dabei übliche poröse oder unporöse Aluminiumoxide, Siliciumdioxid, Thoriumdioxid, Zirkondioxid, Siliciumcarbid oder Silikate wie Magnesium- oder Aluminiumsilikat verwendet werden. Die Trägerkörper können regelmäßig oder unregelmäßig geformt sein, wobei regelmäßig geformte Trägerkörper mit deutlich ausgebildeter Oberflächenrauhigkeit, z. B. Kugeln oder Hohlzylinder, bevorzugt werden. Geeignet ist die Verwendung von im wesentlichen unporösen, oberflächenrauen, kugelförmigen Trägern aus Steatit, deren Durchmesser 1 bis 8 mm, bevorzugt 4 bis 5 mm beträgt. Geeignet ist aber auch die Verwendung von Zylindern als Trägerkörper, deren Länge 2 bis 10 mm und deren Außendurchmesser 4 bis 10 mm beträgt. Im Fall von erfundungsgemäß geeigneten Ringen als Trägerkörper liegt die Wanddicke darüber hinaus üblicherweise bei 1 bis 4 mm. Erfundungsgemäß bevorzugt zu verwendende ringförmige Trägerkörper besitzen eine Länge von 3 bis 6 mm, einen Außendurchmesser von 4 bis 8 mm und eine Wanddicke von 1 bis 2 mm. Erfundungsgemäß geeignet sind vor allem auch Ringe der Geometrie 7 mm × 3 mm × 4 mm (Außendurchmesser × Länge × Innendurchmesser) als Trägerkörper. Die Feinheit der auf die Oberfläche des Trägerkörpers aufzubringenden katalytisch aktiven Oxidmassen wird selbstredend an die gewünschte Schalendicke angepaßt (vgl. EP-A 714 700).

Günstige als Festbettkatalysatoren 1 erfundungsgemäß zu verwendende Multimetallocxidaktivmassen sind ferner Massen der allgemeinen Formel II

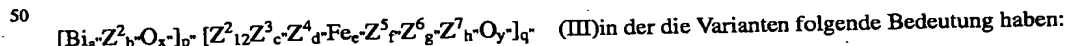


in der die Variablen folgende Bedeutung haben:

$Y^1$  = Wismut, Tellur, Antimon, Zinn und/oder Kupfer,  
 $Y^2$  = Molybdän und/oder Wolfram,  
 $Y^3$  = ein Alkalimetall, Thallium und/oder Samarium,  
 $Y^4$  = ein Erdalkalimetall, Nickel, Kobalt, Kupfer, Mangan, Zink, Zinn, Cadmium und/oder Quecksilber,  
 $Y^5$  = Eisen, Chrom, Cer und/oder Vanadium,  
 $Y^6$  = Phosphor, Arsen, Bor und/oder Antimon,  
 $Y^7$  = ein seltenes Erdmetall, Titan, Zirkonium, Niob, Tantal, Rhenium, Ruthenium, Rhodium, Silber, Gold, Aluminium, Gallium, Indium, Silicium, Germanium, Blei, Thorium und/oder Uran,  
 $a' = 0,01$  bis 8,  
 $b' = 0,1$  bis 30,  
 $c' = 0$  bis 4,  
 $d' = 0$  bis 20,  
 $e' = 0$  bis 20,  
 $f' = 0$  bis 6,  
 $g' = 0$  bis 15,  
 $h' = 8$  bis 16,  
 $x', y'$  = Zahlen, die durch die Wertigkeit und Häufigkeit der von Sauerstoff verschiedenen Elemente in II bestimmt werden und  
 $p, q$  = Zahlen, deren Verhältnis  $p/q$  0,1 bis 10 beträgt,

enthaltend dreidimensional ausgedehnte, von ihrer lokalen Umgebung aufgrund ihrer von ihrer lokalen Umgebung verschieden Zusammensetzung abgegrenzte, Bereiche der chemischen Zusammensetzung  $Y^1_a Y^2_b O_x$ , deren Größtdurchmesser (längste durch den Schwerpunkt des Bereichs gehende Verbindungsstrecke zweier auf der Oberfläche (Grenzfläche) des Bereichs befindlicher Punkte) 1 nm bis 100 µm, häufig 10 nm bis 500 nm oder 1 µm bis 50 bzw. 25 µm, beträgt. Besonders vorteilhafte erfundungsgemäß Multimetallocxidmassen II sind solche, in denen  $Y^1$  Wismut ist.

Besonders vorteilhafte erfundungsgemäß Multimetallocxidmassen II sind solche, in denen  $Y^1$  Wismut ist.  
Unter diesen werden wiederum jene bevorzugt, die der allgemeinen Formel III



$Z^2$  = Molybdän und/oder Wolfram,  
 $Z^3$  = Nickel und/oder Kobalt,  
 $Z^4$  = Thallium, ein Alkalimetall und/oder ein Erdalkalimetall,  
 $Z^5$  = Phosphor, Arsen, Bor, Antimon, Zinn, Cer und/oder Blei,  
 $Z^6$  = Silicium, Aluminium, Titan und/oder Zirkonium,  
 $Z^7$  = Kupfer, Silber und/oder Gold,  
 $a'' = 0,1$  bis 1,  
 $b'' = 0,2$  bis 2,  
 $c'' = 3$  bis 10,  
 $d'' = 0,02$  bis 2,  
 $e'' = 0,01$  bis 5, vorzugsweise 0,1 bis 3,  
 $f'' = 0$  bis 5,  
 $g'' = 0$  bis 10,  
 $h'' = 0$  bis 1,  
 $x'', y''$  = Zahlen, die durch die Wertigkeit und Häufigkeit der von Sauerstoff verschiedenen Element in III bestimmt werden,

# DE 199 48 248 A 1

$p'', q''$  = Zahlen, deren Verhältnis  $p''/q''$  0,1 bis 5, vorzugsweise 0,5 bis 2 beträgt,

entsprechen, wobei diejenigen Massen III ganz besonders bevorzugt werden, in denen  $Z^2_{b''} = (\text{Wolfram})_{b''}$  und  $Z^2_{12} = (\text{Molybdän})_{12}$  ist.

Ferner ist es von Vorteil, wenn wenigstens 25 mol-% (bevorzugt wenigstens 50 mol-% und besonders bevorzugt wenigstens 100 mol-%) des gesamten Anteils  $[y^1_a, y^2_b, O_x, O_x]_p ([Bi_aZ^2_bO_x]_p)$ , der als Festbettkatalysatoren 1 erfundungsgemäß geeigneten Multimetallocidmassen II (Multimetallocidmassen III) in den erfundungsgemäß geeigneten Multimetallocidmassen II (Multimetallocidmassen III) in Form dreidimensional ausgedehnter, von ihrer lokalen Umgebung aufgrund ihrer von ihrer lokalen Umgebung verschiedenen chemischen Zusammensetzung abgegrenzter, Bereiche der chemischen Zusammensetzung  $y^1_a, y^2_b, O_x, [Bi_aZ^2_bO_x]$  vorliegen, deren Größtdurchmesser im Bereich 1 nm bis 100 µm liegt.

Hinsichtlich der Formgebung gilt bezüglich Multimetallocidmassen II-Katalysatoren das bei den Multimetallocidmassen I-Katalysatoren Gesagte.

Die Herstellung von Multimetallocidmassen II-Aktivmassen ist z. B. in der EP-A 575897 sowie in der DE-A 198 55 913 beschrieben.

In anwendungstechnisch zweckmäßiger Weise erfolgt die Durchführung der ersten Reaktionsstufe des erfundungsgemäßen Verfahrens in einem Zweizonenrohrbündelreaktor. Eine bevorzugte Variante eines erfundungsgemäß einsetzbaren Zweizonenrohrbündelreaktors offenbart die DE-C 28 30 765. Aber auch die in der DE-C 25 13 405, der US-A 3147084, der DE-A 22 01 528, der EP-A 383224 und der DE-A 29 03 218 offenbarten Zweizonenrohrbündelreaktoren sind für eine Durchführung der ersten Reaktionsstufe des erfundungsgemäßen Verfahrens geeignet.

D. h., in einfachster Weise befindet sich der erfundungsgemäß zu verwendende Festbettkatalysator 1 in den Metallrohren eines Rohrbündelreaktors und um die Metallrohre werden zwei voneinander im wesentlichen räumlich getrennte Temperiermedien, in der Regel Salzschrmelzen, geführt. Der Rohrabschnitt, über den sich das jeweilige Salzbad erstreckt, repräsentiert erfundungsgemäß eine Reaktionszone. D. h., in einfachster Weise umströmt ein Salzbad A denjenigen Abschnitt der Rohre (die Reaktionszone A), in welchem sich die oxidative Umsetzung des Propens (beim einfachen Durchgang) bis zum Erreichen eines Umsatzes im Bereich von 40 bis 80 mol-% vollzieht und ein Salzbad B umströmt den Abschnitt der Rohre (die Reaktionszone B), in welchem sich die oxidative Anschlußumsetzung des Propens (beim einfachen Durchgang) bis zum Erreichen eines Umsatzwertes von wenigstens 90 mol-% vollzieht (bei Bedarf können sich an die erfundungsgemäß anzuwendenden Reaktionszonen A, B weitere Reaktionszonen anschließen, die auf individuellen Temperaturen gehalten werden).

Anwendungstechnisch zweckmäßig umfaßt die erste Reaktionsstufe des erfundungsgemäßen Verfahrens keine weiteren Reaktionszonen. D. h., das Salzbad B umströmt zweckmäßig den Abschnitt der Rohre, in welchem sich die oxidative Anschlußumsetzung des Propens (beim einfachen Durchgang) bis zu einem Umsatzwert  $\geq 92$  mol-% oder  $\geq 94$  mol-% oder mehr vollzieht.

Üblicherweise liegt der Beginn der Reaktionszone B hinter dem Heißpunktmaximum der Reaktionszone A. Das Heißpunktmaximum der Reaktionszone B liegt normalerweise unterhalb der Heißpunktmaximaltemperatur der Reaktionszone A.

Die beiden Salzräder A, B können erfundungsgemäß relativ zur Strömungsrichtung des durch die Reaktionsrohre strömenden Reaktionsgasgemisches im Gleichstrom oder im Gegenstrom durch den die Reaktionsrohre umgebenden Raum geführt werden. Selbstverständlich kann erfundungsgemäß auch in der Reaktionszone A eine Gleichströmung und in der Reaktionszone B eine Gegenströmung (oder umgekehrt) angewandt werden.

Selbstverständlich kann man in allen vorgenannten Fallkonstellationen innerhalb der jeweiligen Reaktionszone der, relativ zu den Reaktionsrohren, erfolgenden Parallelströmung der Salzschrmelze noch eine Querströmung überlagern, so daß die einzelne Reaktionszone einem wie in der EP-A 700714 oder in der EP-A 700893 beschriebenen Rohrbündelreaktor entspricht und insgesamt im Längsschnitt durch das Kontaktrohrbündel ein mäanderförmiger Strömungsverlauf des Wärmeaustauschmittels resultiert.

Zweckmäßigerweise wird das Reaktionsgasausgangsgemisch 1 der Katalysatorbeschickung 1 auf die Reaktionstemperatur vorerwärm t zugeführt.

Üblicherweise sind in den vorgenannten Rohrbündelreaktoren die Kontaktrohre aus ferritischem Stahl gefertigt und weisen in typischer Weise eine Wanddicke von 1 bis 3 mm auf. Ihr Innendurchmesser beträgt in der Regel 20 bis 30 mm, häufig 22 bis 26 mm. Anwendungstechnisch zweckmäßig beläuft sich die im Rohrbündelbehälter untergebrachte Anzahl an Kontaktrohren auf wenigstens 5000, vorzugsweise auf wenigstens 10000. Häufig beträgt die Anzahl der im Reaktionsbehälter untergebrachten Kontaktrohre 15000 bis 30000. Rohrbündelreaktoren mit einer oberhalb von 40000 liegenden Anzahl an Kontaktrohren bilden eher die Ausnahme. Innerhalb des Behälters sind die Kontaktrohre im Normalfall homogen verteilt angeordnet, wobei die Verteilung zweckmäßig so gewählt wird, daß der Abstand der zentralen Innenachsen von zueinander nächstliegenden Kontaktrohren (die sogenannte Kontaktrohrteilung) 35 bis 45 mm beträgt (vgl. z. B. EP-B 468290).

Als Wärmeaustauschmittel eignen sich insbesondere fluide Temperiermedien. Besonders günstig ist die Verwendung von Schmelzen von Salzen wie Kaliumnitrat, Kaliumnitrit, Natriumnitrit und/oder Natriumnitrat, oder von niedrig schmelzenden Metallen wie Natrium Quecksilber sowie Legierungen verschiedener Metalle.

In der Regel wird bei allen vorstehend erwähnten Konstellationen der Stromführung in den Zweizonenrohrbündelreaktoren die Fließgeschwindigkeit innerhalb der beiden erforderlichen Wärmeaustauschmittelkreisläufen so gewählt, daß die Temperatur des Wärmeaustauschmittels von der Eintrittsstelle in die Reaktionszone bis zur Austrittsstelle aus der Reaktionszone um 0 bis 15°C ansteigt. D. h., das vorgenannte  $\Delta T$  kann erfundungsgemäß 1 bis 10°C, oder 2 bis 8°C oder 3 bis 6°C betragen.

Die Eintrittstemperatur des Wärmeaustauschmittels in die Reaktionszone A beträgt erfundungsgemäß normalerweise 300 bis 350°C. Die Eintrittstemperatur des Wärmeaustauschmittels in die Reaktionszone B beträgt erfundungsgemäß normalerweise einerseits 305 bis 380°C und liegt andererseits gleichzeitig wenigstens 5°C oberhalb der Eintrittstempe-

# DE 199 48 248 A 1

ratur des in die Reaktionszone A eintretenden Wärmeaustauschmittels.

Bevorzugt liegt die Eintrittstemperatur des Wärmeaustauschmittels in die Reaktionszone B wenigstens 10°C oberhalb der Eintrittstemperatur des in die Reaktionszone A eintretenden Wärmeaustauschmittels. Die Differenz zwischen den Eintrittstemperaturen in die Reaktionszone A bzw. B kann erfahrungsgemäß somit bis zu 20°C, bis zu 25°C, bis zu 30°C, bis zu 40°C, bis zu 45°C oder bis zu 50°C betragen. Normalerweise wird die vorgenannte Temperaturdifferenz aber nicht mehr als 50°C betragen. Je höher die Propenbelastung der Katalysatorschüttung 1 beim erfahrungsgemäßen Verfahren gewählt wird, um so größer sollte die Differenz zwischen der Eintrittstemperatur des Wärmeaustauschmittels in die Reaktionszone A und der Eintrittstemperatur des Wärmeaustauschmittels in die Reaktionszone B sein.

Mit Vorteil beträgt die Eintrittstemperatur des Wärmeaustauschmittels in die Reaktionszone B erfahrungsgemäß 305 bis 365°C, bzw. 340°C und besonders vorteilhaft 310 bis 330°C.

Selbstverständlich können beim erfahrungsgemäßen Verfahren die beiden Reaktionszonen A, B auch in räumlich voneinander getrennten Rohrbündelreaktoren realisiert seit. Bei Bedarf kann zwischen den beiden Reaktionszonen A, B auch ein Wärmetauscher angebracht werden. Selbstredend können die beiden Reaktionszonen A, B auch als Wirbelbett gestaltet werden.

Ferner können beim erfahrungsgemäßen Verfahren auch Katalysatorschüttungen 1 verwendet werden, deren volumenspezifische Aktivität in Strömungsrichtung des Reaktionsgasausgangsgemisches 1 kontinuierlich, abrupt oder stufenförmig zunimmt (dies kann wie in der WO 98/24746 oder wie in der JP-A 91/294239 beschrieben oder auch durch Verdunng mit Inertmaterial bewirkt werden). Ebenso können für die beschriebene Zweizonenfahrweise auch die in der EP-A 293224 und in der EP-B 257565 empfohlenen inertnen Verdünnungsgase (z. B. nur Propan oder nur Methan etc.) eingesetzt werden. Letzteres bei Bedarf auch kombiniert mit einer in Strömungsrichtung des Reaktionsgasgemisches zunehmenden volumenspezifischen Aktivität der Katalysatorschüttung.

Es sei an dieser Stelle auch noch einmal darauf hingewiesen, daß für eine Durchführung der Reaktionsstufe 1 des erfahrungsgemäßen Verfahrens insbesondere auch der in der DE-AS 22 01 528 beschriebene Zweizonenrohrbündelreaktortyp verwendet werden kann, der die Möglichkeit beinhaltet, vom heißenen Wärmeaustauschmittel der Reaktionszone B eine Teilmenge an die Reaktionszone A abzuführen, um gegebenenfalls ein Anwärmen eines kalten Reaktionsgasausgangsgemisches oder eines kalten Kreisgases zu bewirken. Ferner kann die Rohrbündelcharakteristik innerhalb einer individuellen Reaktionszone wie in der EP-A 382098 beschrieben gestaltet werden.

Erfahrungsgemäß hat es sich als zweckmäßig erwiesen, das die erste Reaktionsstufe verlassende Produktgasgemisch vor dem Eintritt in die zweite Reaktionsstufe abzukühlen, um so eine Nachvollverbrennung von Teilen des in der ersten Reaktionsstufe gebildeten Acroleins zu unterdrücken. Üblicherweise wird dazu zwischen die beiden Reaktionsstufen ein Nachkühler geschaltet. Dies kann im einfachsten Fall ein indirekter Rohrbündelwärmeüberträger sein. Das Produktgasgemisch wird dabei in der Regel durch die Röhre geführt und um die Röhre wird ein Wärmetauschermedium geführt, dessen Art der für die Rohrbündelreaktoren empfohlenen Wärmetauschermedien entsprechen kann. Mit Vorteil ist das Rohrinnere mit inertnen Füllkörpern (z. B. Spiralen als Edelstahl, Ringe aus Steatit, Kugeln aus Steatit etc.) gefüllt. Selbige verbessern den Wärmeaustausch und fangen gegebenenfalls aus der Festbettkatalysatorschüttung der ersten Reaktionsstufe sublimierendes Molybdäntrioxid vor einem Eintritt desselben in die zweite Reaktionsstufe ab. Es ist von Vorteil, wenn der Nachkühler aus mit Zinksilicafarbe beschichtetem rostfreiem Stahl gefertigt ist.

Anwendungstechnisch zweckmäßig wird das Produktgasgemisch der ersten Reaktionsstufe in den vorstehend beschriebenen Nachkühler auf eine Temperatur von 210 bis 290°C, häufig 220 bis 260°C oder 225 bis 245°C abgekühlt. D. h., die Abkühlung des Produktgasgemisches der ersten Reaktionsstufe kann durchaus auf Temperaturen erfolgen, die unterhalb der Temperatur der Reaktionszone C liegen. Die beschriebene Nachkühlung ist jedoch keineswegs zwingend und kann insbesondere dann in aller Regel entfallen, wenn der Weg des Produktgasgemisches von der ersten Reaktionsstufe in die zweite Reaktionsstufe kurz gehalten wird. Üblicherweise wird das erfahrungsgemäße Verfahren ferner so verwirklicht, daß man den Sauerstoffbedarf in der zweiten Reaktionsstufe nicht bereits durch einen entsprechend hohen Sauerstoffgehalt des Reaktionsgasausgangsgemisches 1 deckt, sondern den benötigten Sauerstoff im Bereich zwischen erster und zweiter Reaktionsstufe zugibt. Dies kann vor, während, nach und/oder zur Nachkühlung erfolgen. Als Quelle für den in der zweiten Reaktionsstufe erforderlichen molekularen Sauerstoff kommen sowohl reiner Sauerstoff als auch Gemische aus Sauerstoff und Inertgas, z. B. Luft oder an molekularem Stickstoff entreicherte Luft (z. B. ≥ 90 Vol-% O<sub>2</sub>, ≤ 10 Vol-% N<sub>2</sub>) in Betracht. Die Zugabe der Sauerstoffquelle erfolgt regelmäßig in auf den Reaktionsdruck komprimierter Form.

Der Acroleinanteil im so erzeugten Reaktionsgasausgangsgemisch 2 kann erfahrungsgemäß z. B. bei Werten von 3 bis 15 Vol-%, häufig bei 4 bis 10 Vol-% bzw. 5 bis 8 Vol-% liegen (jeweils bezogen auf das Gesamtvolumen).

Erfahrungsgemäß muß das molare Verhältnis von O<sub>2</sub> : Acrolein im Reaktionsgasausgangsgemisch 2 ≥ 1 betragen. Üblicherweise wird dieses Verhältnis bei Werten ≤ 3 liegen. Häufig wird das molare Verhältnis von O<sub>2</sub> : Acrolein im Reaktionsgasausgangsgemisch 2 erfahrungsgemäß 1 bis 2 bzw. 1 bis 1,5 betragen. Häufig wird man das erfahrungsgemäß Verfahren mit einem im Reaktionsgasausgangsgemisch 2 vorliegenden Acrolein : Sauerstoff : Wasser dampf : Inertgas-Volumenverhältnis (NI) von 1 : (1 bis 3) : (0 bis 20) : (3 bis 30), vorzugsweise von 1 : (1 bis 3) : (0,5 bis 10) : (7 bis 10) ausführen.

Der Arbeitsdruck kann in der zweiten Reaktionsstufe sowohl unterhalb von Normaldruck (z. B. bis zu 0,5 bar) als auch oberhalb von Normaldruck liegen. Typischerweise wird der Arbeitsdruck in der zweiten Reaktionsstufe erfahrungsgemäß bei Werten von 1 bis 5 bar, häufig 1 bis 3 bar liegen. Normalerweise wird der Reaktionsdruck in der zweiten Reaktionsstufe 100 bar nicht überschreiten.

Bevorzugt erstreckt sich die Reaktionszone C bis zu einem Acroleinumsatz von 65 bis 80 mol-%. Außerdem liegt die Temperatur der Reaktionszone C mit Vorteil bei 245 bis 260°C. Die Temperatur der Reaktionszone D liegt vorzugsweise wenigstens 20°C oberhalb der Temperatur der Reaktionszone D und beträgt vorteilhaft 265 bis 285°C.

Je höher die Acroleinbelastung der Katalysatorschüttung 2 beim erfahrungsgemäßen Verfahren gewählt wird, um so größer sollte die Differenz zwischen der Temperatur der Reaktionszone C und der Temperatur der Reaktionszone D gewählt werden. Normalerweise wird die vorgenannte Temperaturdifferenz beim erfahrungsgemäßen Verfahren aber nicht

# DE 199 48 248 A 1

mehr als 40°C betragen. D. h., die Differenz zwischen der Temperatur der Reaktionszone C und der Temperatur der Reaktionszone D kann erfahrungsgemäß bis zu 15°C, bis zu 25°C, bis zu 30°C, bis zu 35°C oder bis zu 40°C betragen.

Im übrigen kann der auf den einfachen Durchgang der zweiten Reaktionsstufe bezogene Acroleinumsatz beim erfahrungsgemäßen Verfahren ≥ 92 mol-%, oder ≥ 94 mol-%, oder ≥ 96 mol-%, oder ≥ 98 mol-% und häufig sogar ≥ 99 mol-% betragen. Die Selektivität der Acrylsäurebildung, bezogen auf umgesetztes Acrolein, wird dabei regelmäßig ≥ 92 mol-%, bzw. ≥ 94 mol-%, häufig ≥ 95 mol-% oder ≥ 96 mol-% bzw. ≥ 97 mol-% betragen.

In überraschender Weise gilt das Vorgenannte nicht nur bei Acroleinbelastungen der Katalysatorschüttung 2 von ≥ 140 NI/l · h bzw. ≥ 150 NI/l · h oder von ≥ 160 NI/l · h bzw. ≥ 170 NI/l · h oder ≥ 175 NI/l · h bzw. ≥ 180 NI/l · h, sondern auch bei Acroleinbelastungen der Katalysatorschüttung von ≥ 185 NI/l · h oder von ≥ 190 NI/l · h bzw. ≥ 200 NI/l · h oder ≥ 210 NI/l · h sowie bei Belastungswerten ≥ 220 NI/l · h oder ≥ 230 NI/l · h bzw. 240 NI/l · h oder ≥ 250 NI/l · h.

Dabei überrascht, daß vorgenannte Werte selbst dann erreichbar sind, wenn das in der zweiten Reaktionsstufe erfahrungsgemäß verwendete Inertgas zu ≥ 30 Vol-%, oder zu ≥ 40 Vol-%, oder zu ≥ 50 Vol-%, oder zu ≥ 60 Vol-%, oder zu ≥ 70 Vol-%, oder zu ≥ 80 Vol-%, oder zu ≥ 90 Vol-%, oder zu ≥ 95 Vol-% aus molekularem Stickstoff besteht.

In zweckmäßiger Weise wird das inerte Verdünnungsgas beim erfahrungsgemäßen Verfahren in der zweiten Reaktionsstufe zu 5 bis 20 Gew.-% aus H<sub>2</sub>O (wird in der ersten Reaktionsstufe gebildet) und zu 70 bis 90 Vol-% aus N<sub>2</sub> bestehen.

Außer den in dieser Schrift genannten Bestandteilen enthält das Reaktionsgasausgangsgemisch 2 normalerweise im wesentlichen keine weiteren Komponenten.

Bei Acroleinbelastungen des zweiten Festbettkatalysators oberhalb von 250 NI/l · h wird für das Reaktionsgasausgangsgemisch 2 die Mitverwendung von inerten Verdünnungsgasen wie Propan, Ethan, Butan, Pentan, CO<sub>2</sub>, CO, Wasserdampf und/oder Edelgasen empfohlen. Selbstverständlich können diese Gase aber auch bereits bei geringeren Acroleinbelastungen mitverwendet werden. Es überrascht, daß das erfahrungsgemäße Verfahren mit einer über beide Reaktionszonen C, D betrachtet homogenen, d. h., chemisch einheitlichen, Katalysatorschüttung durchgeführt werden kann, ohne in nennenswerten Umfang Umsatz- und/oder Selektivitätseinbußen zu erleiden.

Normalerweise wird beim erfahrungsgemäßen Verfahren die Acroleinbelastung des zweiten Festbettkatalysators den Wert von 600 NI/l · h nicht überschreiten. In typischer Weise liegen die Acroleinbelastungen der Katalysatorschüttung 2 beim erfahrungsgemäßen Verfahren ohne nennenswerten Verlust von Umsatz und Selektivität bei Werten ≤ 300 NI/l · h, häufig bei Werten ≤ 250 NI/l · h.

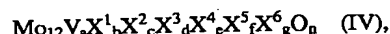
In der Regel wird beim erfahrungsgemäßen Verfahren die Acroleinbelastung der zweiten Katalysatorschüttung etwa 10 NI/l · h, häufig etwa 20 bzw. 25 NI/l · h unterhalb der Propenbelastung der ersten Katalysatorschüttung liegen. Dies ist primär darauf zurückzuführen, daß in der ersten Reaktionsstufe sowohl Umsatz als auch Selektivität in der Regel nicht 100% erreichen. Ferner wird der Sauerstoffbedarf der zweiten Reaktionsstufe üblicherweise durch Luft gedeckt.

Beachtenswerterweise liegt beim erfahrungsgemäßen Verfahren die über beide Reaktionsstufen bilanzierte Selektivität der Acrylsäurebildung, bezogen auf umgesetztes Propen, selbst bei höchsten Propen- und Acroleinbelastungen in der Regel bei Werten ≥ 83 mol-%, häufig bei ≥ 85 mol-% oder ≥ 88 mol-%, oft bei ≥ 90 mol-% oder 93 mol-%.

Als Festbettkatalysatoren 2 kommen für die gasphasenkatalytische Acroleinoxidation in der zweiten Reaktionsstufe alle diejenigen in Betracht, deren Aktivmasse wenigstens ein Mo und V enthaltendes Multimetallocloid ist.

Solchermaßen geeignete Multimetallocloidkatalysatoren können beispielsweise der US-A 3 775 474, der US-A 3 954 855, der US-A 3 893 951 und der US-A 4 339 355 entnommen werden. Ferner eignen sich in besonderer Weise die Multimetallocidmassen der EP-A 427 508, der DE-A 29 09 671, der DE-C 31 51 805, der DE-AS 26 26 887, der DE-A 43 02 991, der EP-A 700 893, der EP-A 714 700 und der DE-A 197 36 105. Besonders bevorzugt sind in diesem Zusammenhang die beispielhaften Ausführungsformen der EP-A 714 700 sowie der DE-A 197 36 105.

Eine Vielzahl der als Festbettkatalysatoren 2 geeigneten Multimetallocidaktivmassen läßt sich unter der allgemeinen Formel IV



in der die Variablen folgende Bedeutung haben:

X<sup>1</sup> = W, Nb, Ta, Cr und/oder Ce,

X<sup>2</sup> = Cu, Ni, Co, Fe, Mn und/oder Zn,

X<sup>3</sup> = Sb und/oder Bi,

X<sup>4</sup> = eines oder mehrere Alkalimetalle,

X<sup>5</sup> = eines oder mehrere Erdalkalimetalle,

X<sup>6</sup> = Si, Al, Ti und/oder Zr,

a = 1 bis 6,

b = 0,2 bis 4,

c = 0,5 bis 18,

d = 0 bis 40,

e = 0 bis 2,

f = 0 bis 4,

g = 0 bis 40 und

n = eine Zahl, die durch die Wertigkeit und Häufigkeit der von Sauerstoff verschiedenen Elemente in IV bestimmt wird,

subsummieren.

Bevorzugte Ausführungsformen innerhalb der aktiven Multimetallocide IV sind jene, die von nachfolgenden Bedeutungen der Variablen der allgemeinen Formel IV erfaßt werden:

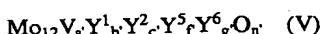
# DE 199 48 248 A 1

$X^1 = W, Nb, \text{ und/oder Cr},$   
 $X^2 = Cu, Ni, Co, \text{ und/oder Fe},$   
 $X^3 = Sb,$

5     $X^4 = Na \text{ und/oder K},$   
 $X^5 = Ca, Sr \text{ und/oder Ba},$   
 $X^6 = Si, Al, \text{ und/oder Ti},$   
 $a = 1,5 \text{ bis } 5,$   
 $b = 0,5 \text{ bis } 2,$   
10     $c = 0,5 \text{ bis } 3,$   
 $d = 0 \text{ bis } 2,$   
 $e = 0 \text{ bis } 0,2,$   
 $f = 0 \text{ bis } 1 \text{ und}$

$n = \text{eine Zahl, die durch die Wertigkeit und Häufigkeit der von Sauerstoff verschiedenen Elementen in IV bestimmt wird.}$

15    Ganz besonders bevorzugte Multimetallocxide IV sind jedoch jene der allgemeinen Formel V



20    mit

$Y^1 = W \text{ und/oder Nb},$   
 $Y^2 = Cu \text{ und/oder Ni},$   
 $Y^5 = Ca \text{ und/oder Sr},$   
25     $Y^6 = Si \text{ und/oder Al},$   
 $a' = 2 \text{ bis } 4,$   
 $b' = 1 \text{ bis } 1,5,$   
 $c' = 1 \text{ bis } 3,$   
 $f' = 0 \text{ bis } 0,5$

30     $g' = 0 \text{ bis } 8 \text{ und}$   
 $n' = \text{eine Zahl, die durch die Wertigkeit und Häufigkeit der von Sauerstoff verschiedenen Elementen in V bestimmt wird.}$

Die erfindungsgemäß geeigneten Multimetallocxidaktivmassen (IV) sind in sich bekannter, z. B. in der DE-A 43 35 973 oder in der EP-A 714700 offenbarer, Weise erhältlich.

35    Prinzipiell können erfindungsgemäß als Festbettkatalysatoren 2 geeignete Multimetallocxidaktivmassen, insbesondere solche der allgemeinen Formel IV, in einfacher Weise dadurch hergestellt werden, daß man von geeigneten Quellen ihrer elementaren Konstituenten ein möglichst inniges, vorzugsweise feinteiliges, ihrer Stöchiometrie entsprechend zusammengesetztes, Trockengemisch erzeugt und dieses bei Temperaturen von 350 bis 600°C calciniert. Die Calcination kann sowohl unter Inertgas als auch unter einer oxidativen Atmosphäre wie z. B. Luft (Gemisch aus Inertgas und Sauerstoff) sowie auch unter reduzierender Atmosphäre (z. B. Gemische aus Inertgas und reduzierenden Gasen wie H<sub>2</sub>, NH<sub>3</sub>, CO, Methan und/oder Acrolein oder die genannten reduzierend wirkenden Gase für sich) durchgeführt werden. Die Calcinationsdauer kann einige Minuten bis einige Stunden betragen und nimmt üblicherweise mit der Temperatur ab. Als Quellen für die elementaren Konstituenten der Multimetallocxidaktivmassen IV kommen solche Verbindungen in Betracht, bei denen es sich bereits um Oxide handelt und/oder um solche Verbindungen, die durch Erhitzen, wenigstens in Anwesenheit von Sauerstoff, in Oxide überführbar sind.

40    Das innige Vermischen der Ausgangsverbindungen zur Herstellung von Multimetallocxidmassen IV kann in trockener oder in nasser Form erfolgen. Erfolgt es in trockener Form, so werden die Ausgangsverbindungen zweckmäßigerweise als feinteilige Pulver eingesetzt und nach dem Mischen und gegebenenfalls Verdichten der Calcinierung unterworfen. Vorzugsweise erfolgt das innige Vermischen jedoch in nasser Form.

45    Üblicherweise werden dabei die Ausgangsverbindungen in Form einer wässrigen Lösung und/oder Suspension miteinander vermischt. Besonders innige Trockengemische werden beim beschriebenen Mischverfahren dann erhalten, wenn ausschließlich von in gelöster Form vorliegenden Quellen der elementaren Konstituenten ausgegangen wird. Als Lösungsmittel wird bevorzugt Wasser eingesetzt. Anschließend wird die erhaltene wässrige Masse getrocknet, wobei der Trocknungsprozeß vorzugsweise durch Sprühgetrocknung der wässrigen Mischung mit Austrittstemperaturen von 100 bis 150°C erfolgt.

50    Die erfindungsgemäß als Festbettkatalysatoren 2 geeigneten Multimetallocxidmassen, insbesondere jene der allgemeinen Formel IV, können für das erfindungsgemäße Verfahren sowohl in Pulverform als auch zu bestimmten Katalysatorgeometrien geformt eingesetzt werden, wobei die Formgebung vor oder nach der abschließenden Calcination erfolgen kann. Beispielsweise können aus der Pulverform der Aktivmasse oder ihrer uncalcinierten Vorläufermasse durch Verdichten zur gewünschten Katalysatorgeometrie (z. B. durch Tabletieren, Extrudieren oder Strangpressen) Vollkatalysatoren hergestellt werden, wobei gegebenenfalls Hilfsmittel wie z. B. Graphit oder Stearinäsure als Gleitmittel und/oder Formhilfsmittel und Verstärkungsmittel wie Mikrofasern aus Glas, Asbest, Siliciumcarbid oder Kaliumtitannat zugesetzt werden können. Geeignete Vollkatalysatorgeometrien sind z. B. Vollzylinder oder Hohlzylinder mit einem Außendurchmesser und einer Länge von 2 bis 10 mm. Im Fall der Hohlzylinder ist eine Wandstärke von 1 bis 3 mm zweckmäßig.

55    Selbstverständlich kann der Vollkatalysator auch Kugelgeometrie aufweisen, wobei der Kugeldurchmesser 2 bis 10 mm betragen kann.

Selbstverständlich kann die Formgebung der pulverförmigen Aktivmasse oder ihrer pulverförmigen, noch nicht calcinierten, Vorläufermasse auch durch Aufbringen auf vorgeformte inerte Katalysatorträger erfolgen. Die Beschichtung

# DE 199 48 248 A 1

der Trägerkörper zur Herstellung der Schalenkatalysatoren wird in der Regel in einem geeigneten drehbaren Behälter ausgeführt, wie es z. B. aus der DE-A 29 09 671, der EP-A 293859 oder aus der EP-A 714700 bekannt ist.

Zweckmäßigerweise wird zur Beschichtung der Trägerkörper die aufzubringende Pulvermasse befeuchtet und nach dem Aufbringen, z. B. mittels heißer Luft, wieder getrocknet. Die Schichtdicke der auf den Trägerkörper aufgebrachten Pulvermasse wird zweckmäßig im Bereich 10 bis 1000 µm, bevorzugt im Bereich 50 bis 500 µm und besonders bevorzugt im Bereich 150 bis 250 µm liegend, gewählt.

Als Trägermaterialien können dabei übliche poröse oder unporöse Aluminiumoxide, Siliciumdioxid, Thoriumdioxid, Zirkondioxid, Siliciumcarbid oder Silikate wie Magnesium- oder Aluminiumsilikat verwendet werden. Die Trägerkörper können regelmäßig oder unregelmäßig geformt sein, wobei regelmäßig geformte Trägerkörper mit deutlich ausgebildeter Oberflächenrauhigkeit, z. B. Kugeln oder Hohlzylinder, bevorzugt werden. Geeignet ist die Verwendung von im wesentlichen unporösen, oberflächenrauen, kugelförmigen Trägern aus Steatit, deren Durchmesser 1 bis 8 mm, bevorzugt 4 bis 5 mm beträgt. Geeignet ist aber auch die Verwendung von Zylindern als Trägerkörper, deren Länge 2 bis 10 mm und deren Außendurchmesser 4 bis 10 mm beträgt. Im Fall von erfundungsgemäß geeigneten Ringen als Trägerkörper liegt die Wanddicke darüber hinaus üblicherweise bei 1 bis 4 mm. Erfundungsgemäß bevorzugt zu verwendende ringförmige Trägerkörper besitzen eine Länge von 3 bis 6 mm, einen Außendurchmesser von 4 bis 8 mm und eine Wanddicke von 1 bis 2 mm. Erfundungsgemäß geeignet sind vor allem auch Ringe der Geometrie 7 mm × 3 mm × 4 mm (Außendurchmesser × Länge × Innendurchmesser) als Trägerkörper. Die Feinheit der auf die Oberfläche des Trägerkörpers aufzubringenden katalytisch aktiven Oxidmassen wird selbstredend an die gewünschte Schalendicke angepaßt (vgl. EP-A 714 700).

Günstige erfundungsgemäß als Festbettkatalysatoren 2 zu verwendende Multimetallocidaktivmassen sind ferner Massen der allgemeinen Formel VI,

[D]<sub>p</sub>[E]<sub>q</sub> (VI),

in der die Variablen folgende Bedeutung haben:

$$D = Mo_{12}V_aZ^{1-b}_bZ^2cZ^3dZ^4eZ^5fZ^6gQ_x,$$

$$E = Z^{7-12}Cu_hH_iO_y,$$

$$Z^1 = W, Nb, Ta, Cr \text{ und/oder Ce},$$

$$Z^2 = Cu, Ni, Co, Fe, Mn \text{ und/oder Zn},$$

$$Z^3 = Sb \text{ und/oder Bi},$$

$$Z^4 = Li, Na, K, Rb, Cs \text{ und/oder H}$$

$$Z^5 = Mg, Ca, Sr \text{ und/oder Ba},$$

$$Z^6 = Si, Al, Ti \text{ und/oder Zr},$$

$$Z^7 = Mo, W, V, Nb \text{ und/oder Ta},$$

$$a'' = 1 \text{ bis } 8,$$

$$b'' = 0,2 \text{ bis } 5,$$

$$c'' = 0 \text{ bis } 23,$$

$$d'' = 0 \text{ bis } 50,$$

$$e'' = 0 \text{ bis } 2,$$

$$f'' = 0 \text{ bis } 5,$$

$$g'' = 0 \text{ bis } 50,$$

$$h'' = 4 \text{ bis } 30,$$

$$i'' = 0 \text{ bis } 20 \text{ und}$$

$x'', y''$  = Zahlen, die durch die Wertigkeit und Häufigkeit der von Sauerstoff verschiedenen Element in VI bestimmt werden und

$p, q$  = von Null verschiedene Zahlen, deren Verhältnis  $p/q$  160 : 1 bis 1 : 1 beträgt,

und die dadurch erhältlich sind, daß man eine Multimetallocidmasse E

$Z^{7-12}Cu_hH_iO_y$  (E),

in feinteiliger Form getrennt vorbildet (Ausgangsmasse 1) und anschließend die vorgebildete feste Ausgangsmasse 1 in eine wässrige Lösung, eine wässrige Suspension oder in ein feinteiliges Trockengemisch von Quellen der Elemente Mo, V,  $Z^1, Z^2, Z^3, Z^4, Z^5, Z^6$ , die die vorgenannten Elemente in der Stöchiometrie D

$Mo_{12}V_aZ^{1-b}_bZ^2cZ^3dZ^4eZ^5fZ^6g$  (D),

enthält (Ausgangsmasse 2), im gewünschten Mengenverhältnis p:q einarbeitet, die dabei gegebenenfalls resultierende wässrige Mischung trocknet, und die so gegebene trockene Vorläufermasse vor oder nach ihrer Trocknung zur gewünschten Katalysatorgeometrie bei Temperaturen von 250 bis 600°C calciniert.

Bevorzugt sind die Multimetallocidmassen VI, bei denen die Einarbeitung der vorgebildeten festen Ausgangsmasse 1 in eine wässrige Ausgangsmasse 2 bei einer Temperatur  $\leq 70^\circ C$  erfolgt. Eine detaillierte Beschreibung der Herstellung von Multimetallocidmassen VI-Katalysatoren enthalten z. B. die EP-A 668104, die DE-A 197 36 105 und die DE-A 195 28 646.

Hinsichtlich der Formgebung gilt bezüglich Multimetallocidmassen VI-Katalysatoren das bei den Multimetallocidmassen IV-Katalysatoren Gesagte.

In anwendungstechnisch zweckmäßiger Weise erfolgt die Durchführung der zweiten Reaktionsstufe des erfundungsgemäßen Verfahrens in einem Zweizonenrohrbündelreaktor. Eine bevorzugte Variante eines für die zweite Reaktion-

# DE 199 48 248 A 1

stufe erfundungsgemäß einsetzbaren Zweizonenrohrbündelreaktors offenbart die DE-C 28 30 765. Aber auch die in der DE-C 25 13 405, der US-A 3147084, der DE-A 22 01 528, der EP-A 383224 und der DE-A 29 03 582 offenbarten Zweizonenrohrbündelreaktoren sind für eine Durchführung der zweiten Reaktionsstufe des erfundungsgemäßen Verfahrens geeignet.

5 D. h., in einfacher Weise befindet sich der erfundungsgemäß zu verwendende Festbettkatalysator in den Metallrohren eines Rohrbündelreaktors und um die Metallrohre werden zwei voneinander im wesentlichen räumlich getrennte Temperiermedien, in der Regel Salzschmelzen, geführt. Der Rohrabschnitt, über den sich das jeweilige Salzbad erstreckt, repräsentiert erfundungsgemäß eine Reaktionszone.

10 D. h., in einfacher Weise umströmt ein Salzbad C diejenigen Abschnitte der Rohre (die Reaktionszone C), in welchem sich die oxidative Umsetzung des Acroleins (beim einfachen Durchgang) bis zum Erreichen eines Umsatzwertes im Bereich von 55 bis 85 mol.% vollzieht und ein Salzbad D umströmt den Abschnitt der Rohre (die Reaktionszone D), in welchem sich die oxidative Anschlußumsetzung des Acroleins (beim einfachen Durchgang) bis zum Erreichen eines Umsatzwertes von wenigstens 90 mol.% vollzieht (bei Bedarf können sich an die erfundungsgemäß anzuwendenden Reaktionszonen C, D weitere Reaktionszonen anschließen, die auf individuellen Temperaturen gehalten werden).

15 Anwendungstechnisch zweckmäßig umfaßt die Reaktionsstufe 2 des erfundungsgemäßen Verfahrens keine weiteren Reaktionszonen. D. h., das Salzbad D umströmt zweckmäßig den Abschnitt der Rohre, in welchem sich die oxidative Anschlußumsetzung des Acroleins (beim einfachen Durchgang) bis zu einem Umsatzwert von  $\geq 92$  mol.-%, oder  $\geq 94$  mol.-%, oder  $\geq 96$  mol.-%, oder  $\geq 98$  mol.-%, und häufig sogar  $\geq 99$  mol.-% oder mehr vollzieht.

20 Üblicherweise liegt der Beginn der Reaktionszone D hinter dem Heißpunktmaximum der Reaktionszone C. Die Temperatur des Heißpunktmaximums der Reaktionszone D liegt normalerweise unterhalb der Heißpunktmaximaltemperatur der Reaktionszone C.

Die beiden Salzbäder C, D können erfundungsgemäß relativ zur Strömungsrichtung des durch die Reaktionsrohre strömenden Reaktionsgasmisches im Gleichstrom oder im Gegenstrom durch den die Reaktionsrohre umgebenden Raum geführt werden. Selbstverständlich kann erfundungsgemäß auch in der Reaktionszone C eine Gleichströmung und in der Reaktionszone D eine Gegenströmung (oder umgekehrt) angewandt werden.

25 Selbstverständlich kann man in allen vorgenannten Fallkonstellationen innerhalb der jeweiligen Reaktionszone der, relativ zu den Reaktionsrohren, erfolgenden Parallelströmung der Salzschmelze noch eine Querströmung überlagern, so daß die einzelne Reaktionszone einem wie in der EP-A 700714 oder in der EP-A 700893 beschriebenen Rohrbündelreaktor entspricht und insgesamt im Längsschnitt durch das Kontaktrohrbündel ein mäanderförmiger Strömungsverlauf des Wärmeaustauschmittels resultiert.

30 Üblicherweise sind in den vorgenannten Rohrbündelreaktoren die Kontaktrohre aus ferritischem Stahl gefertigt und weisen in typischer Weise eine Wanddicke von 1 bis 3 mm auf. Ihr Innendurchmesser beträgt in der Regel 20 bis 30 mm, häufig 22 bis 26 mm. Anwendungstechnisch zweckmäßig beläuft sich die im Rohrbündelbehälter untergebrachte Anzahl an Kontaktrohren auf wenigstens 5000, vorzugsweise auf wenigstens 10000. Häufig beträgt die Anzahl der im Reaktionsbehälter untergebrachten Kontaktrohre 15000 bis 30000. Rohrbündelreaktoren mit einer oberhalb von 40000 liegenden Anzahl an Kontaktrohren bilden eher die Ausnahme. Innerhalb des Behälters sind die Kontaktrohre im Normalfall homogen verteilt angeordnet, wobei die Verteilung zweckmäßig so gewählt wird, daß der Abstand der zentralen Innenachsen von zueinander nächstliegenden Kontaktrohren (die sogenannte Kontaktrohrtteilung) 35 bis 45 mm beträgt (vgl. EP-B 468290).

40 Als Wärmeaustauschmittel eignen sich insbesondere fluide Temperiermedien. Besonders günstig ist die Verwendung von Schmelzen von Salzen wie Kaliumnitrat, Kaliumnitrit, Natriumnitrit und/oder Natriumnitrat, oder von niedrig schmelzenden Metallen wie Natrium, Quecksilber sowie Legierungen verschiedener Metalle.

45 In der Regel wird bei allen vorstehend erwähnten Konstellationen der Stromführung in den Zweizonenrohrbündelreaktoren die Fließgeschwindigkeit innerhalb der beiden erforderlichen Wärmeaustauschmittelkreisläufe so gewählt, daß die Temperatur des Wärmeaustauschmittels von der Eintrittsstelle in die Reaktionszone bis zur Austrittsstelle aus der Reaktionszone um 0 bis 15°C ansteigt. D. h., das vorgenannte  $\Delta T$  kann erfundungsgemäß 1 bis 10°C, oder 2 bis 8°C oder 3 bis 6°C betragen.

50 Die Eintrittstemperatur des Wärmeaustauschmittels in die Reaktionszone C beträgt erfundungsgemäß normalerweise 230 bis 270°C. Die Eintrittstemperatur des Wärmeaustauschmittels in die Reaktionszone D beträgt erfundungsgemäß normalerweise einerseits 250°C bis 300°C und liegt andererseits gleichzeitig wenigstens 10°C oberhalb der Eintrittstemperatur des in die Reaktionszone C eintretenden Wärmeaustauschmittels.

55 Bevorzugt liegt die Eintrittstemperatur des Wärmeaustauschmittels in die Reaktionszone D wenigstens 20° oberhalb der Eintrittstemperatur des in die Reaktionszone C eintretenden Wärmeaustauschmittels. Die Differenz zwischen den Eintrittstemperaturen in die Reaktionszone C bzw. D kann erfundungsgemäß somit bis zu 15°C, bis zu 25°C, bis zu 30°C, bis zu 35°C oder bis zu 40°C betragen. Normalerweise wird die vorgenannte Temperatur aber nicht mehr als 50°C betragen. Je höher die Acroleinbelastung der Katalysatorschüttung 2 beim erfundungsgemäßen Verfahren gewählt wird, um so größer sollte die Differenz zwischen der Eintrittstemperatur des Wärmeaustauschmittels in die Reaktionszone C und der Eintrittstemperatur des Wärmeaustauschmittels in die Reaktionszone D sein. Bevorzugt liegt die Eintrittstemperatur in die Reaktionszone C bei 245 bis 260°C und die Eintrittstemperatur in die Reaktionszone D bei 265 bis 285°C.

60 Selbstverständlich können beim erfundungsgemäßen Verfahren die beiden Reaktionszonen C, D auch in räumlich voneinander getrennten Rohrbündelreaktoren realisiert sein. Bei Bedarf kann zwischen den beiden Reaktionszonen C, D auch ein Wärmetauscher angebracht werden. Selbstredend können die beiden Reaktionszonen C, D auch als Wirbelbett gestaltet werden.

65 Ferner können beim erfundungsgemäßen Verfahren auch Katalysatorschüttungen 2 verwendet werden, deren volumenspezifische Aktivität in Strömungsrichtung des Reaktionsgasmisches kontinuierlich, abrupt oder stufenförmig zunimmt (dies kann z. B. durch Verdünnung mit Inertmaterial oder Variation der Aktivität des Multimetallocxids bewirkt werden).

Ebenso können für die beschriebene Zweizonenfahrweise in der zweiten Reaktionsstufe auch die in der EP-A 293224

# DE 199 48 248 A 1

und in der EP-B 257565 empfohlenen inerten Verdünnungsgase (z. B. nur Propan, oder nur Methan etc.) eingesetzt werden. Letzteres bei Bedarf auch kombiniert mit einer in Strömungsrichtung des Reaktionsgasgemisches abnehmenden volumenspezifischen Aktivität der Katalysatorschüttung 2.

Es sei an dieser Stelle auch noch einmal darauf hingewiesen, daß für eine Durchführung in der zweiten Reaktionssstufe des erfundungsgemäßen Verfahrens insbesondere auch der in der DE-AS 22 01 528 beschriebene Zweizonenrohrbündelreaktortyp verwendet werden kann, der die Möglichkeit beinhaltet, vom heißen Wärmeaustauschmittel der Reaktionszone D eine Teilmenge an die Reaktionszone C abzuführen, um gegebenenfalls ein Anwärmen eines zu kalten Reaktionsgasausgangsgemisches 2 oder eines kalten Kreisgases zu bewirken. Ferner kann die Rohrbündelcharakteristik, innerhalb einer individuellen Reaktionszone wie in der EP-A 382 098 beschrieben gestaltet werden.

Das erfundungsgemäße Verfahren eignet sich insbesondere für eine kontinuierliche Durchführung. Es überrascht, daß es bei einmaligem Durchgang eine erhöhte Raum-Zeit-Ausbeute der Wertproduktbildung ermöglicht, ohne gleichzeitig die Selektivität der Wertproduktbildung nennenswert zu beeinträchtigen. Vielmehr wird in der Regel tendenziell sogar eine erhöhte Selektivität der Wertproduktbildung beobachtet. Letzteres ist vermutlich darauf zurückzuführen, daß das erfundungsgemäße Verfahren aufgrund der im Bereich des erhöhten Propen- bzw. Acroleinumsatzes vorliegenden erhöhten Temperaturen eine geringere Readsorption von gebildetem Acrolein/Acrysäure an den Festbettkatalysator bedingt.

Bemerkenswert ist ferner, daß die Katalysatorlebensdauer beim erfundungsgemäßen Verfahren trotz der extremen Katalysatorbelastung mit Reaktanden im vollen Umfang zu befriedigen vermag.

Bei dem erfundungsgemäßen Verfahren wird keine reine Acrysäure sondern ein Gemisch erhalten, von dessen Nebenkomponenten die Acrysäure in an sich bekannter Weise (z. B. rektifikativ und/oder kristallisativ) abgetrennt werden kann. Nicht umgesetztes Acrolein, Propen sowie verwendetes und/oder im Verlauf der Reaktion gebildetes inertes Verdünnungsgas können in die Gasphasenoxidation rückgeführt werden. Bei der erfundungsgemäßen zweistufigen, von Propen ausgehenden Gasphasenoxidation erfolgt die Rückführung zweckmäßigerverweise in die erste Oxidationsstufe. Natürlich kann die erfundungsgemäße Verfahrensweise bei Bedarf auch im Fall konventioneller Propenlasten angewendet werden.

Im übrigen sind in dieser Schrift Umsatz, Selektivität und Verweilzeit, falls nichts anderes erwähnt wird, wie folgt definiert:

$$\text{Umsatz an Edukt (\%)} = \frac{\text{Molzahl umgesetztes Edukt}}{\text{Molzahl eingesetztes Edukt}} \times 100$$

5

10

15

20

25

30

35

40

45

50

55

60

65

$$\text{Selektivität der Produktbildung} = \frac{\text{Molzahl Edukt umgesetzt zu Produkt}}{\text{Molzahl umgesetztes Edukt}} \times 100$$

*mit Katalysator gefülltes Leervolumen des Reaktors (1)*

$$\text{Verweilzeit (sec.)} = \frac{\text{durchgesetzte Menge Reaktions-gasausgangsgemisch (N1)}}{x 3600}$$

## Beispiele und Vergleichsbeispiele

### a) Herstellung des Festbettkatalysators 1

#### 1. Herstellung einer Ausgangsmasse 1

In 775 kg einer wäßrigen salpetersauren Wismutnitratlösung (11,2 Gew.-% Bi, freie Salpetersäure 3 bis 5 Gew.-%; Massendichte: 1,22 bis 1,27 g/ml) wurden bei 25°C portionsweise 209,3 kg Wolframsäure (72,94 Gew.-% W) eingetragen. Das resultierende wäßrige Gemisch wurde anschließend noch 2 h bei 25°C gerührt und anschließend sprühgetrocknet.

Die Sprühgetrocknung erfolgte in einem Drehscheibensprühurm im Gegenstrom bei einer Gaseintrittstemperatur von  $300 \pm 10^\circ\text{C}$  und einer Gasaustrittstemperatur von  $100 \pm 10^\circ\text{C}$ . Das erhaltene Sprühpulver wurde anschließend bei einer Temperatur im Bereich von 780 bis 810°C calciniert (im luftdurchströmten Drehrohrofen ( $1,54 \text{ m}^3$  Innenvolumen,  $200 \text{ Nm}^3 \text{ Luft/h}$ )). Wesentlich bei der genauen Einstellung der Calcinationstemperatur ist, daß sie an der angestrebten Phasenzusammensetzung des Calcinationsprodukts orientiert zu erfolgen hat. Gewünscht sind die Phasen  $\text{WO}_3$  (monoklin) und  $\text{Bi}_2\text{W}_2\text{O}_9$ , unerwünscht ist das Vorhandensein von  $\gamma\text{-Bi}_2\text{WO}_6$  (Russellit). Sollte daher nach der Calcination die Verbindung  $\gamma\text{-Bi}_2\text{WO}_6$  anhand eines Reflexes im Pulverröntgendiffraktogramm bei einem Reflexwinkel von  $2\Theta = 28,4^\circ$  (CuK $\alpha$ -Strahlung) noch nachweisbar sein, so ist die Präparation zu wiederholen und die Calcinationstemperatur innerhalb des angegebenen Temperaturbereichs zu erhöhen, bis das Verschwinden des Reflexes erreicht wird. Das so erhaltene vorgebildete calcinierte Mischoxid wurde gemahlen, so daß der  $X_{50}$ -Wert (vgl. Ullmann's Encyclopedia of Industrial Chemistry, 6<sup>th</sup> Edition (1998) Electronic Release, Kapitel 3.1.4 oder DIN 66141) der resultierenden Körnung 5  $\mu\text{m}$  be-

# DE 199 48 248 A 1

trug. Das Mahlgut wurde dann mit 1 Gew.-% (bezogen auf das Mahlgut) fein-teiligem SiO<sub>2</sub> (Rüttelgewicht 150 g/l; X<sub>50</sub>-Wert der SiO<sub>2</sub>-Partikel betrug 10 µm, die BET-Oberfläche betrug 100 m<sup>2</sup>/g).

## 2. Herstellung einer Ausgangsmasse 2

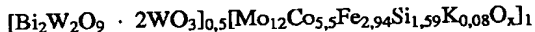
5 Eine Lösung A wurde hergestellt indem man bei 60°C unter Röhren in 600 l Wasser 213 kg Ammoniumheptamolybdat löste und die resultierende Lösung unter Aufrechterhaltung der 60°C und Röhren mit 0,97 kg einer 20°C aufweisenden wäßrigen Kaliumhydroxidlösung (46,8 Gew.-% KOH) versetzte.

10 Eine Lösung B wurde hergestellt indem man bei 60°C in 262,9 kg einer wäßrigen Cobaltnitratlösung (12,4 Gew.-% Co) 116,25 kg einer wäßrigen Eisennitratlösung (14,2 Gew.-% Fe) eintrug. Anschließend wurde unter Aufrechterhaltung der 60°C die Lösung B über einen Zeitraum von 30 Minuten kontinuierlich in die vorgelegte Lösung A gepumpt. Anschließend wurde 15 Minuten bei 60°C gerührt. Dann wurden dem resultierenden Gemisch 19,16 kg eines Kieselgels (46,80 Gew.-% SiO<sub>2</sub>, Dichte: 1,36 bis 1,42 g/ml, pH 8,5 bis 9,5, Alkal Gehalt max. 0,5 Gew.-%) zugegeben und danach noch weitere 15 Minuten bei 60°C gerührt.

15 Anschließend wurde in einem Drehscheibensprühturn im Gegenstrom sprühgetrocknet (Gaseintrittstemperatur: 400 ± 10°C, Gasaustrittstemperatur: 140 ± 5°C). Das resultierende Sprühpulver wies einen Glühverlust von ca. 30 Gew.-% auf (3 h bei 600°C glühen).

## 3. Herstellung der Multimetalloxidaktivmasse

20 Die Ausgangsmasse 1 wurde mit der Ausgangsmasse 2 in der für eine Multimetalloxidaktivmasse der Stöchiometrie



25 erforderlichen Menge homogen vermischt. Bezogen auf die vorgenannte Gesamtmasse wurden zusätzlich 1,5 Gew.-% feinteiliges Graphit (Siebanalyse: min. 50 Gew.-% < 24 µm, max. 10 Gew.-% ≥ 24 µm und < 48 µm, max. 5 Gew.-% > 48 µm, BET-Oberfläche: 6 bis 13 m<sup>2</sup>/g) homogen eingemischt. Das resultierende Trockengemisch wurde zu Hohlzylindern mit 3 mm Länge, 5 mm Außendurchmesser und 1,5 mm Wandstärke verpreßt und anschließend wie folgt thermisch behandelt.

30 Im Luft durchströmten Muffelofen (60 l Innenvolumen, 1 l/h Luft pro Gramm Aktivmassevorläufemasse) wurde mit einer Aufheizrate von 180°C/h zunächst von Raumtemperatur (25°C) auf 190°C aufgeheizt. Diese Temperatur wurde für 1 h aufrechterhalten und dann mit einer Aufheizrate von 60°C/h auf 210°C erhöht. Die 210°C wurden wiederum während 1 h aufrechterhalten, bevor sie mit einer Aufheizrate von 60°C/h, auf 230°C erhöht wurden. Diese Temperatur wurde ebenfalls 1 h aufrechterhalten bevor sie, wiederum mit einer Aufheizrate von 60°C/h, auf 265°C erhöht wurde. 35 Die 265°C wurden anschließend ebenfalls während 1 h aufrechterhalten. Danach wurde zunächst auf Raumtemperatur abgekühlt und damit die Zersetzungphase im wesentlichen abgeschlossen. Dann wurde mit einer Aufheizrate von 180°C/h auf 465°C erhitzt und diese Calcinationstemperatur während 4 h aufrechterhalten. Eine Schüttung aus den resultierenden Vollkatalysatorringen bildete den Festbettkatalysator 1.

## b) Herstellung des Festbettkatalysators 2

### 1. Herstellung der katalytisch aktiven Oxidmasse Mo<sub>12</sub>V<sub>3</sub>W<sub>1,2</sub>Cu<sub>2,4</sub>O<sub>n</sub>

45 190 g Kupfer(II)acetatmonohydrat wurden in 2700 g Wasser zu einer Lösung I gelöst. In 5500 g Wasser wurden bei 95°C nacheinander 860 g Ammoniumheptamolybdat, 143 g Ammoniummetavanadat und 126 g Ammoniumparawolframatheptahydrat zu einer Lösung II gelöst. Anschließend wurde die Lösung I auf einmal in die Lösung II eingebracht und anschließend soviel einer 25 gew.-%igen wäßrigen NH<sub>3</sub>-Lösung zugesetzt, bis wieder eine Lösung entstand. Diese wurde bei einer Austrittstemperatur von 110°C sprühgetrocknet. Das resultierende Sprühpulver wurde je kg Pulver mit 0,25 kg einer 30 gew.-%igen wäßrigen Essigsäurelösung mit einem Kneter der Fa. Werner & Pfeiderer vom Typ ZS1-80 verknobelt und anschließend bei einer Temperatur von 110°C während 10 h im Trockenschrank getrocknet.

50 700 g des so erhaltenen Katalysatorvorläufers wurden in einem Luft/Stickstoffgemisch [(200 l N<sub>2</sub>/15 l Luft)/h] in einem Drehrohrofen (50 cm lang, 12 cm Innendurchmesser) calciniert. Im Rahmen der Calcination wurde die Knetmasse zunächst innerhalb von einer Stunde von Raumtemperatur (ca. 25°C) kontinuierlich auf 325°C erhitzt. Anschließend wurde während 4 h auf dieser Temperatur gehalten. Dann wurde innerhalb von 15 min auf 400°C erwärmt, bei dieser 55 Temperatur während 1 h gehalten und dann auf Raumtemperatur abgekühlt.

Das calcinierte katalytisch aktive Material wurde zu einem feinteiligen Pulver gemahlen, von dem 50% der Pulverpartikel ein Sieb der Maschenweite 1 bis 10 µm passierten und dessen Anteil an Partikel mit einer Längsausdehnung oberhalb von 50 µm weniger als 1% betrug.

## 2. Schalenkatalysatorherstellung

60 28 kg ringförmiger Trägerkörper (7 mm Außendurchmesser, 3 mm Länge, 4 mm Innendurchmesser, Steatit, mit einer Oberflächenrauhigkeit Rz gemäß EP-B 714700 von 45 µm und mit einem auf das Volumen der Trägerkörper bezogenen Porengeamtvolume ≤ 1 Vol.-%, Hersteller: Caramtec DE) wurden in einem Dragierkessel (Neigungswinkel 90°, Hight-coater der Fa. Lödige, DE) von 200 l Innenvolumen gefüllt. Anschließend wurde der Dragierkessel mit 16 U/min in Rotation versetzt. Über eine Düse wurden innerhalb von 25 min 2000 g einer aus 75 Gew.-% H<sub>2</sub>O und 25 Gew.-% Glycerin bestehenden wäßrigen Lösung auf die Trägerkörper aufgesprüht. Gleichzeitig wurden im selben Zeitraum 7 kg des katalytisch aktiven Oxidpulvers aus a) über eine Schüttelrinne außerhalb des Sprühkegels der Zerstäuberdüse kontinuierlich

# DE 199 48 248 A 1

zudosiert. Während der Beschichtung wurde das zugeführte Pulver vollständig auf die Oberfläche der Trägerkörper aufgenommen, eine Agglomeration der feinteiligen oxidischen Aktivmasse wurde nicht beobachtet. Nach beendeter Zugabe von Pulver und wässriger Lösung wurde bei einer Drehgeschwindigkeit von 2 Umdrehungen/min 20 min. 110°C heiße Luft in den Dragierkessel geblasen. Anschließend wurde noch 2 h bei 250°C in ruhender Schüttung (Hordenofen) unter Luft getrocknet. Es wurden ringförmige Schalenkatalysatoren erhalten, deren Anteil an oxidischer Aktivmasse, bezogen auf die Gesamtmasse, 20 Gew.-% betrug. Die Schalendicke lag, sowohl über die Oberfläche eines Trägerkörpers als auch über die Oberfläche verschiedener Trägerkörper betrachtet, bei  $230 \pm 25 \mu\text{m}$ . Eine Schüttung aus den resultierenden Schalenkatalysatorringen bildete den Festbettkatalysator 2.

5

10

## c) Gasphasenkatalytische Oxidation von Propen zu Acrylsäure

Ein erstes Reaktionsrohr (V2A Stahl; 30 mm Außendurchmesser; 2 mm Wandstärke; 26 mm Innendurchmesser, Länge: 439 cm, sowie ein in der Reaktionsrohrmitte zentriertes Thermo Rohr (4 mm Außendurchmesser) zur Aufnahme eines Thermoelements mit dem die Temperatur im Reaktionsrohr ermittelt werden kann) wurde von unten nach oben auf einem Kontaktstuhl (44 cm Länge) zunächst auf einer Länge von 30 cm mit einer rauhe Oberfläche aufweisenden Steatitkugeln (4 bis 5 mm Durchmesser; Inertmaterial zum Erwärmen des Reaktionsgasausgangsgemisches 1) und anschließend auf einer Länge von 300 cm mit den in a) hergestellten Vollkatalysatorringen beschickt, bevor die Beschickung auf einer Länge von 30 cm mit den vorgenannten Steatitkugeln als Nachschüttung abgeschlossen wurde. Die verbleibenden 35 cm Kontaktrohr wurden leer belassen.

15

Der Teil des ersten Reaktionsrohrs, der mit Feststoff beschickt war, wurde mittels 12 zylinderförmig um das Rohr aufgegossenen Aluminium-Blöcken von je 30 cm Länge, die durch elektrische Heizbänder beheizt wurden, thermostatisiert (Vergleichsversuche mit einem entsprechenden mittels eines stickstoffgeperlten Salzbades beheizten Reaktionsrohr zeigten, daß die Aluminiumblock-Thermostatisierung eine Salzbad-Thermostatisierung zu simulieren vermag). Die ersten sechs Aluminiumblöcke in Strömungsrichtung definierten eine Reaktionszone A und die verbleibenden Aluminiumblöcke definierten eine Reaktionszone B. Die an Feststoff freien Enden des Reaktionsrohrs wurden mit unter erhöhtem Druck befindlichem Wasserdampf auf 220°C gehalten.

20

25

## 2. Die zweite Reaktionsstufe

30

Ein zweites Reaktionsrohr (V2A Stahl; 30 mm Außendurchmesser; 2 mm Wandstärke; 26 mm Innendurchmesser, Länge: 439 cm sowie ein in der Reaktionsrohrmitte zentriertes Thermo-Rohr (4 mm Außendurchmesser) zur Aufnahme eines Thermoelements mit dem die Temperatur im Reaktionsrohr ermittelt werden kann) wurde von unten nach oben auf einem Kontaktstuhl (44 cm Länge) zunächst auf einer Länge von 30 cm mit einer rauhe Oberfläche aufweisenden Steatitkugeln (4 bis 5 mm Durchmesser; Inertmaterial zum Temperieren des Reaktionsgasausgangsgemisches 2) und anschließend auf einer Länge von 300 cm mit den in b) hergestellten Schalenkatalysatorringen beschickt, bevor die Beschickung auf einer Länge von 30 cm mit den vorgenannten Steatitkugeln als Nachschüttung abgeschlossen wurde. Die verbleibenden 35 cm Kontaktrohr wurden leer belassen.

35

Der Teil des zweiten Reaktionsrohrs, der mit Feststoff beschickt war, wurde mittels 12 zylinderförmig um das Rohr aufgegossenen Aluminium-Blöcken von je 30 cm Länge thermostatisiert (Vergleichsversuche mit einem entsprechenden mittels eines stickstoffgeperlten Salzbades beheizten Reaktionsrohr zeigten, daß die Aluminiumblock-Thermostatisierung eine Salzbad-Thermostatisierung zu simulieren vermag). Die ersten sechs Aluminiumblöcke in Strömungsrichtung definierten eine Reaktionszone C und die verbleibenden sechs Aluminiumblöcke definierten eine Reaktionszone D. Die an Feststoff freien Enden des Reaktionsrohrs wurden mit unter Druck befindlichem Wasserdampf auf 220°C gehalten.

40

45

## 3. Die Gasphasenoxidation

Das vorstehend beschriebene erste Reaktionsrohr wurde mit einem Reaktionsgasausgangsgemisch der nachfolgenden Zusammensetzung kontinuierlich beschickt, wobei die Belastung und die Thermostatisierung des ersten Reaktionsrohrs variiert wurden:

50

55

6 bis 6,5 Vol-% Propen,  
3 bis 3,5 Vol-% H<sub>2</sub>O,  
0,3 bis 0,5 Vol-% CO,  
0,8 bis 1,2 Vol-% CO<sub>2</sub>,  
0,025 bis 0,04 Vol-% Acrolein,  
10,4 bis 10,7 Vol-% O<sub>2</sub> und  
als Restmenge ad 100% molekularer Stickstoff.

60

Dem Produktgasgemisch der ersten Reaktionsstufe wurde am Ausgang des ersten Reaktionsrohrs eine kleine Probe für eine gaschromatographische Analyse entnommen. Im übrigen wurde das Produktgasgemisch unter Zudüszen von einer Temperatur von 25°C aufweisender Luft unmittelbar in die nachfolgende Acroleinoxidationsstufe (zu Acrylsäure) geführt (Reaktionsstufe 2). Vom Produktgasgemisch der Acroleinoxidationsstufe wurde ebenfalls eine kleine Probe für eine gaschromatographische Analyse entnommen. Im übrigen wurde die Acrylsäure vom Produktgasgemisch der zweiten Reaktionsstufe in an sich bekannter Weise abgetrennt und ein Teil des verbleibenden Restgases zur Beschickung der Propenoxidationsstufe wiederverwendet (als sogenanntes Kreisgas), was den Acroleingehalt des vorgenannten Beschickungsgases und die geringe Varianz der Feedzusammensetzung erklärt.

65

# DE 199 48 248 A 1

Der Druck am Eingang des ersten Reaktionsrohres variierte in Abhängigkeit von der gewählten Propenbelastung im Bereich von 3,0 bis 0,9 bar. Am Ende der Reaktionszonen A, C befand sich ebenfalls eine Analysenstelle. Der Druck am Eingang des zweiten Reaktionsrohres variierte in Abhängigkeit von der Acroleinbelastung im Bereich von 2 bis 0,5 bar.

Die in Abhängigkeit von den gewählten Belastungen und der gewählten Aluminium-Thermostatisierung sowie der 5 praktizierten Luftzugabe (nach der ersten Reaktionsstufe) erzielten Ergebnisse zeigen die nachfolgende Tabelle.

$T_A, T_B, T_C, T_D$  stehen für die Temperatur der Aluminiumblöcke in den Reaktionszonen A, B, C und D.

$U_{PA}$  ist der Propenumsatz am Ende der Reaktionszone A.

$U_{PB}$  ist der Propenumsatz am Ende der Reaktionszone B.

10  $S_{WP}$  ist die Selektivität der Acroleinbildung sowie der Acrylsäurenebenproduktbildung zusammengenommen nach der ersten Reaktionsstufe und bezogen auf umgesetztes Propen.

$U_{AC}$  ist der Acroleinumsatz am Ende der Reaktionszone C.

$U_{AD}$  ist der Acroleinumsatz am Ende der Reaktionszone D.

$U_{PD}$  ist der Propenumsatz am Ende der Reaktionszone D.

15  $S_{AS}$  ist die Selektivität der Acrylsäurebildung nach der zweiten Reaktionsstufe und bezogen auf umgesetztes Propen.

$RZA_{AS}$  ist die Raum-Zeit-Ausbeute an Acrylsäure am Ausgang des zweiten Reaktionsrohres.

V ist das molare Verhältnis von molekularem Sauerstoff : Acrolein im Reaktionsgasausgangsgemisch 2

M ist die nach der ersten Reaktionsstufe zugesetzte Menge an Luft.

20

25

30

35

40

45

50

55

60

65

# DE 199 48 248 A 1

Tabelle

Propenbelastung [Nl Propen/1·h]	T <sub>A</sub> [°C]	T <sub>B</sub> [°C]	U <sub>PA</sub> (%)	U <sub>PB</sub> (%)	S <sub>WP</sub> (%)	M (Nl/h)	V
125	316	78,2	94,1	97,8	490	1,40	
175	328	79,9	94,6	96,6	685	1,42	
175	320	72,1	95,0	97,4	680	1,37	
200	325	347	73,7	94,5	98,1	775	1,38

Tabelle Forts.

Acroleinbelastung [Nl Acrolein/1·h]	T <sub>C</sub> [°C]	T <sub>D</sub> [°C]	U <sub>AC</sub> (%)	U <sub>AD</sub> (%)	U <sub>PD</sub> (%)	S <sub>AS</sub> (%)	RZAAS (g/1·h)
107	262	92,3	99,3	94,1	95,4	162,5	
148	267	93,2	99,3	94,6	95,2	225,3	
152	254	76,1	99,3	95,0	95,8	232,2	
173	257	273	78,3	99,4	94,5	95,8	264,0

# DE 199 48 248 A 1

## Patentansprüche

1. Verfahren der katalytischen Gasphasenoxidation von Propen zu Acrylsäure, bei dem man ein Propen, molekularen Sauerstoff und wenigstens ein Inertgas, das zu wenigstens 20% seines Volumens aus molekularem Stickstoff besteht, enthaltendes Reaktionsgasausgangsgemisch 1, das den molekularen Sauerstoff und das Propen in einem molaren Verhältnis  $O_2 : C_3H_6 \geq 1$  enthält, zunächst in einer ersten Reaktionsstufe bei erhöhter Temperatur so über einen ersten Festbettkatalysator, dessen Aktivmasse wenigstens ein Molybdän und/oder Wolfram sowie Wismut, Tellur, Antimon, Zinn und/oder Kupfer enthaltendes Multimetallocid ist, führt, daß der Propenumsatz bei einmaligem Durchgang  $\geq 90$  mol-% und die damit einhergehende Selektivität der Acroleinbildung sowie der Acrylsäurenebenproduktbildung zusammen genommen  $\geq 90$  mol-% betragen, die Temperatur des die erste Reaktionsstufe verlassenden Produktgasgemisches durch indirekte und/oder direkte Kühlung gegebenenfalls verringert und dem Produktgasgemisch gegebenenfalls molekularen Sauerstoff und/oder Inertgas zugibt, und danach das Produktgasgemisch als Acrolein, molekularen Sauerstoff und wenigstens ein Inertgas, das zu wenigstens 20% seines Volumens aus molekularem Stickstoff besteht, enthaltendes Reaktionsgasausgangsgemisch 2, das den molekularen Sauerstoff und das Acrolein in einem molaren Verhältnis  $O_2 : C_3H_4O \geq 1$  enthält, in einer zweiten Reaktionsstufe bei erhöhter Temperatur so über einen zweiten Festbettkatalysator, dessen Aktivmasse wenigstens ein Molybdän und Vanadin enthaltendes Multimetallocid ist, führt, daß der Acroleinumsatz bei einmaligem Durchgang  $\geq 90$  mol-% und die Selektivität der über beide Reaktionsstufen bilanzierten Acrylsäurebildung, bezogen auf umgesetztes Propen,  $\geq 80$  mol-% beträgt, dadurch gekennzeichnet, daß

- a) die Belastung des ersten Festbettkatalysators mit dem im Reaktionsgasausgangsgemisch 1 enthaltenen Propen  $\geq 160$  NI Propen/l Katalysatorschüttung · h beträgt,
- b) der erste Festbettkatalysator aus einer in zwei räumlich aufeinanderfolgenden Reaktionszonen A, B angeordneten Katalysatorschüttung besteht, wobei die Temperatur der Reaktionszone A 300 bis 350°C und die Temperatur der Reaktionszone B 305 bis 380°C beträgt und gleichzeitig wenigstens 5°C oberhalb der Temperatur der Reaktionszone A liegt,
- c) das Reaktionsgasausgangsgemisch 1 die Reaktionszonen A, B in der zeitlichen Abfolge "erst A", "dann B" durchströmt,
- d) die Reaktionszone A sich bis zu einem Umsatz des Propens von 40 bis 80 mol-% erstreckt,
- e) die Belastung des zweiten Festbettkatalysators mit dem im Reaktionsgasausgangsgemisch 2 enthaltenen Acrolein  $\geq 140$  NI Acrolein/l Katalysatorschüttung h beträgt,
- f) der zweite Festbettkatalysator aus einer in zwei räumlich aufeinanderfolgenden Reaktionszonen C, D angeordneten Katalysatorschüttung besteht, wobei die Temperatur der Reaktionszone C 230 bis 270°C und die Temperatur der Reaktionszone D 250 bis 300°C beträgt und gleichzeitig wenigstens 10°C oberhalb der Reaktionszone C liegt,
- g) das Reaktionsgasausgangsgemisch 2 die Reaktionszonen C, D in der zeitlichen Abfolge "erst C", "dann D" durchströmt und
- h) sich die Reaktionszone C bis zu einem Umsatz des Acroleins von 55 bis 85 mol-% erstreckt.

2. Verfahren nach Anspruch 1, dadurch gekennzeichnet, daß sich die Reaktionszone A bis zu einem Umsatz des Propens von 50 bis 70 mol-% erstreckt.

3. Verfahren nach Anspruch 1, dadurch gekennzeichnet, daß sich die Reaktionszone A bis zu einem Umsatz des Propens von 65 bis 75 mol-% erstreckt.

4. Verfahren nach einem der Ansprüche 1 bis 3, dadurch gekennzeichnet, daß sich die Reaktionszone C bis zu einem Umsatz des Acroleins von 65 bis 80 mol-% erstreckt.

5. Verfahren nach einem der Ansprüche 1 bis 4, dadurch gekennzeichnet, daß die Temperatur der Reaktionszone B wenigstens 10°C oberhalb der Temperatur der Reaktionszone A liegt.

6. Verfahren nach einem der Ansprüche 1 bis 5, dadurch gekennzeichnet, daß die Temperatur der Reaktionszone D wenigstens 20°C oberhalb der Reaktionszone C liegt.

7. Verfahren nach einem der Ansprüche 1 bis 6, dadurch gekennzeichnet, daß die Temperatur der Reaktionszone B 305 bis 340°C beträgt.

8. Verfahren nach einem der Ansprüche 1 bis 6, dadurch gekennzeichnet, daß die Temperatur der Reaktionszone B 310 bis 330°C beträgt.

9. Verfahren nach einem der Ansprüche 1 bis 8, dadurch gekennzeichnet, daß die Temperatur der Reaktionszone C 245 bis 260°C beträgt.

10. Verfahren nach einem der Ansprüche 1 bis 8, dadurch gekennzeichnet, daß die Temperatur der Reaktionszone D 265 bis 285°C beträgt.

11. Verfahren nach einem der Ansprüche 1 bis 10, dadurch gekennzeichnet, daß der Propenumsatz in der ersten Reaktionsstufe bei einmaligem Durchgang  $\geq 94$  mol-% beträgt.

12. Verfahren nach einem der Ansprüche 1 bis 11, dadurch gekennzeichnet, daß die Selektivität der Acroleinbildung sowie der Acrylsäurenebenproduktbildung in der ersten Reaktionsstufe bei einmaligem Durchgang zusammen genommen  $\geq 94$  mol-% beträgt.

13. Verfahren nach einem der Ansprüche 1 bis 12, dadurch gekennzeichnet, daß der Acroleinumsatz in der zweiten Reaktionsstufe bei einmaligem Durchgang  $\geq 94$  mol-% beträgt.

14. Verfahren nach einem der Ansprüche 1 bis 13, dadurch gekennzeichnet, daß die Selektivität der über beide Reaktionsstufen bilanzierten Acrylsäurebildung, bezogen auf umgesetztes Propen,  $\geq 85$  mol-% beträgt.

15. Verfahren nach einem der Ansprüche 1 bis 14, dadurch gekennzeichnet, daß die Propenbelastung des ersten Festbettkatalysators  $\geq 165$  NI/l · h beträgt.

16. Verfahren nach einem der Ansprüche 1 bis 15, dadurch gekennzeichnet, daß die Propenbelastung des ersten Festbettkatalysators  $\geq 170$  NI/l · h beträgt.

# DE 199 48 248 A 1

17. Verfahren nach einem der Ansprüche 1 bis 16, dadurch gekennzeichnet, daß das wenigstens eine im Reaktionsgasausgangsgemisch 1 enthaltene Inertgas zu  $\geq 40$  Vol.-% aus molekularem Stickstoff besteht.

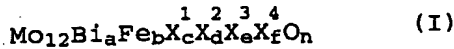
18. Verfahren nach einem der Ansprüche 1 bis 16, dadurch gekennzeichnet, daß das wenigstens eine im Reaktionsgasausgangsgemisch 1 enthaltene Inertgas zu  $\geq 60$  Vol.-% aus molekularem Stickstoff besteht.

19. Verfahren nach einem der Ansprüche 1 bis 18, dadurch gekennzeichnet, daß das wenigstens eine im Reaktionsgasausgangsgemisch 1 enthaltene Inertgas Wasserdampf umfaßt.

20. Verfahren nach einem der Ansprüche 1 bis 19, dadurch gekennzeichnet, daß das wenigstens eine im Reaktionsgasausgangsgemisch 1 enthaltene Inertgas  $\text{CO}_2$  und/oder CO umfaßt.

21. Verfahren nach einem der Ansprüche 1 bis 20, dadurch gekennzeichnet, daß der Propengehalt des Reaktionsgasausgangsgemisches 14 bis 15 Vol.-% beträgt.

22. Verfahren nach einem der Ansprüche 1 bis 21, dadurch gekennzeichnet, daß die Aktivmasse des ersten Festbettkatalysators wenigstens ein Multimetallocid der allgemeinen Formel I



ist, in der die Variablen nachfolgende Bedeutung aufweisen:

$X^1$  = Nickel und/oder Kobalt,  
 $X^2$  = Thallium, ein Alkalimetall und/oder ein Erdalkalimetall,  
 $X^3$  = Zink, Phosphor, Arsen, Bor, Antimon, Zinn, Cer, Blei und/oder Wolfram,  
 $X^4$  = Silicium, Aluminium, Titan und/oder Zirkonium,

a = 0,5 bis 5,

b = 0 bis 5,

c = 0 bis 10,

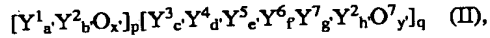
d = 0 bis 2,

e = 0 bis 8,

f = 0 bis 10 und

n = eine Zahl, die durch die Wertigkeit und Häufigkeit der von Sauerstoff verschiedenen Elemente in I bestimmt wird.

23. Verfahren nach einem der Ansprüche 1 bis 21, dadurch gekennzeichnet, daß die Aktivmasse des ersten Festbettkatalysators wenigstens ein Multimetallocid der allgemeinen Formel II



ist, in der die Variablen folgende Bedeutung haben:

$\text{Y}^1$  = Wismut, Tellur, Antimon, Zinn und/oder Kupfer,  
 $\text{Y}^2$  = Molybdän und/oder Wolfram,  
 $\text{Y}^3$  = ein Alkalimetall, Thallium und/oder Samarium,  
 $\text{Y}^4$  = ein Erdalkalimetall, Nickel, Kobalt, Kupfer, Mangan, Zink, Zinn, Cadmium und/oder Quecksilber,  
 $\text{Y}^5$  = Eisen, Chrom, Cer und/oder Vanadium,  
 $\text{Y}^6$  = Phosphor, Arsen, Bor und/oder Antimon,  
 $\text{Y}^7$  = ein seltenes Erdmetall, Titan, Zirkonium, Niob, Tantal, Rhenium, Ruthenium, Rhodium, Silber, Gold, Aluminium, Gallium, Indium, Silicium, Germanium, Blei, Thorium und/oder Uran,

a' = 0,01 bis 8,

b' = 0,1 bis 30,

c' = 0 bis 4,

d' = 0 bis 20,

e' = 0 bis 20,

f' = 0 bis 6,

g' = 0 bis 15,

h' = 8 bis 16,

x', y' = Zahlen, die durch die Wertigkeit und Häufigkeit der von Sauerstoff verschiedenen Elemente in II bestimmt werden und

p, q = Zahlen, deren Verhältnis p/q 0,1 bis 10 beträgt,  
 enthaltend dreidimensional ausgedehnte, von ihrer lokalen Umgebung aufgrund ihrer von ihrer lokalen Umgebung verschiedenen Zusammensetzung abgegrenzte, Bereiche der chemischen Zusammensetzung  $\text{Y}^1_a\text{Y}^2_b\text{O}_x$ , deren Größtdurchmesser 1 nm bis 100  $\mu\text{m}$  betragen.

24. Verfahren nach einem der Ansprüche 1 bis 23, dadurch gekennzeichnet, daß der erste Festbettkatalysator ring- und/oder kugelförmige Katalysatoren umfaßt.

25. Verfahren nach Anspruch 24, dadurch gekennzeichnet, daß die Ringgeometrie die folgende ist:

Außendurchmesser: 2 bis 10 mm,

Länge: 2 bis 10 mm,

Wandstärke: 1 bis 3 mm.

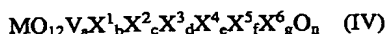
26. Verfahren nach Anspruch 24, dadurch gekennzeichnet, daß der kugelförmige Katalysator ein Schalenkatalysator bestehend aus einem kugelförmigen Träger (1 bis 8 mm Durchmesser) und einer auf diesem aufgebrachten Aktivmassenschale (10 bis 1000  $\mu\text{m}$  Dicke) ist.

27. Verfahren nach einem der Ansprüche 1 bis 26, dadurch gekennzeichnet, daß die erste und die zweite Reaktionstufe jeweils in einem Zweizonenrohbündelreaktor durchgeführt werden.

28. Verfahren nach einem der Ansprüche 1 bis 27, dadurch gekennzeichnet, daß die Aktivmasse des zweiten Fest-

# DE 199 48 248 A 1

bettkatalysators wenigstens ein Multimetallocid der allgemeinen Formel IV



5

mit

$\text{X}^1 = \text{W}, \text{Nb}, \text{Ta}, \text{Cr und/oder Ce},$

$\text{X}^2 = \text{Cu}, \text{Ni}, \text{Co}, \text{Fe}, \text{Mn und/oder Zn},$

$\text{X}^3 = \text{Sb und/oder Bi},$

$\text{X}^4 = \text{eines oder mehrere Alkalimetalle},$

10  $\text{X}^5 = \text{eines oder mehrere Erdalkalimetalle},$

$\text{X}^6 = \text{Si}, \text{Al}, \text{Ti und/oder Zr},$

$a = 1 \text{ bis } 6,$

$b = 0,2 \text{ bis } 4,$

$c = 0,5 \text{ bis } 18,$

15  $d = 0 \text{ bis } 40,$

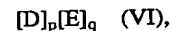
$e = 0 \text{ bis } 2,$

$f = 0 \text{ bis } 4,$

$g = 0 \text{ bis } 40 \text{ und}$

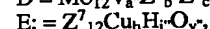
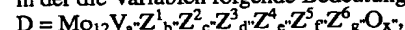
n = eine Zahl, die durch die Wertigkeit und Häufigkeit der von Sauerstoff verschiedenen Elemente in IV bestimmt wird, ist.

20 29. Verfahren nach einem der Ansprüche 1 bis 27, dadurch gekennzeichnet, daß die Aktivmasse des zweiten Festbettkatalysators wenigstens ein Multimetallocid der allgemeinen Formel VI



25

in der die Variablen folgende Bedeutung haben:



$\text{Z}^1 = \text{W}, \text{Nb}, \text{Ta}, \text{Cr und/oder Ce},$

30  $\text{Z}^2 = \text{Cu}, \text{Ni}, \text{Co}, \text{Fe}, \text{Mn und/oder Zn},$

$\text{Z}^3 = \text{Sb und/oder Bi},$

$\text{Z}^4 = \text{Li}, \text{Na}, \text{K}, \text{Rb}, \text{Cs und/oder H}$

$\text{Z}^5 = \text{Mg}, \text{Co}, \text{Sr und/oder Ba},$

$\text{Z}^6 = \text{Si}, \text{Al}, \text{Ti und/oder Zr},$

35  $\text{Z}^7 = \text{Mo}, \text{W}, \text{V}, \text{Nb und/oder Ta},$

$a'' = 1 \text{ bis } 8,$

$b'' = 0,2 \text{ bis } 5,$

$c'' = 0 \text{ bis } 23,$

$d'' = 0 \text{ bis } 50,$

40  $e'' = 0 \text{ bis } 2,$

$f'' = 0 \text{ bis } 5,$

$g'' = 0 \text{ bis } 50,$

$h'' = 4 \text{ bis } 30,$

$i'' = 0 \text{ bis } 20 \text{ und}$

45  $x'', y'' = \text{Zahlen, die durch die Wertigkeit und Häufigkeit der von Sauerstoff verschiedenen Element in VI bestimmt werden und}$

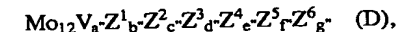
$p, q = \text{von Null verschiedene Zahlen, deren Verhältnis } p/q \text{ } 160 : 1 \text{ bis } 1 : 1 \text{ beträgt,}$   
und die dadurch erhältlich sind, daß man eine Multimetallocidmasse (E)

50



in feinteiliger Form getrennt vorbildet (Ausgangsmasse 1) und anschließend die vorgebildete feste Ausgangsmasse 1 in eine wässrige Lösung, eine wässrige Suspension oder in ein feinteiliges Trockengemisch von Quellen der Elemente Mo, V,  $\text{Z}^1, \text{Z}^2, \text{Z}^3, \text{Z}^4, \text{Z}^5, \text{Z}^6$ , die die vorgenannten Elemente in der Stöchiometrie D

55



enthält (Ausgangsmasse 2), im gewünschten Mengenverhältnis p : q einarbeitet, die dabei gegebenenfalls resultierende wässrige Mischung trocknet, und die so erhaltene trockene Vorläufermasse vor oder nach ihrer Trocknung zur gewünschten Katalysatorgeometrie bei Temperaturen von 250 bis 600°C calciniert.

60

30. Verfahren nach einem der Ansprüche 1 bis 29, dadurch gekennzeichnet, daß der zweite Festbettkatalysator ringförmige Katalysatoren umfaßt.

31. Verfahren nach einem der Ansprüche 1 bis 29, dadurch gekennzeichnet, daß der zweite Festbettkatalysator kugelförmige Katalysatoren umfaßt.

65